

Univerzita Palackého v Olomouci

Přírodovědecká fakulta

Katedra botaniky



**Analýza a charakteristika
vybraných polymorfních mikrosatelitů z řádu trubkonosí
u pelikána bílého (*Pelecanus onocrotalus*)**

Diplomová práce

Bc. Veronika Adámková

Studijní program: Učitelství biologie pro střední školy, Učitelství chemie pro střední školy

Studijní obor: Biologie-Chemie

Forma studia: Prezenční

Olomouc 2021

Vedoucí práce: RNDr. Petr Nádvorník, Ph.D.

Prohlašuji, že jsem tuto diplomovou práci vypracovala samostatně během mého magisterského studia pod vedením RNDr. Petra Nádvorníka, Ph.D. za použití uvedených literárních zdrojů.

V Olomouci dne 04.08.2021

Chtěla bych poděkovat RNDr. Petru Nádvorníkovi, Ph.D. za jeho trpělivost, čas a ochotu, kterou mi poskytoval po celou dobu psaní teoretické i experimentální části mé diplomové práce.

Bibliografická identifikace

Jméno a příjmení: Veronika Adámková

Název práce: Analýza a charakteristika vybraných polymorfních mikrosatelitů z řádu trubkonosí u pelikána bílého (*Pelecanus onocrotalus*)

Typ práce: Magisterská

Pracoviště: Katedra buněčné biologie a genetiky, Přírodovědecká fakulta, Univerzita Palackého v Olomouci

Vedoucí práce: RNDr. Petr Nádvorník, Ph.D.

Rok obhajoby: 2021

Abstrakt

Náplní mé diplomové práce bylo analyzovat a charakterizovat polymorfní mikrosateliity u pelikána bílého (*Pelecanus onocrotalus*).

V teoretické části jsem nastínila fylogenetické vztahy kladu Aequorlitornithes. Dále jsem se zabývala zařazením a charakteristikou pelikána bílého do systému, konkrétně jsem popsala rod pelikán a druh pelikán bílý. Poslední součástí teoretické části byla charakteristika mikrosatelitů, jejich mutace a také využití. V neposlední řadě jsem také popsala metody izolace (*de novo*, *cross-species* a *in silico*).

V experimentální části jsem využila metodu *cross-species* PCR amplifikace. K dispozici jsem měla celkem 42 mikrosatelitů, které jsem charakterizovala na 21 nepříbuzných jedincích pelikána bílého, které byly primárně navrženy pro studium variability druhů z řádu trubkonosí z čeledi albatrosovití, buřňákovití a buřňáčkovití a z řádu dlouhokřídlí z čeledi kulíkovití. Celkem jsem potvrzdila polymorfismus u 36 mikrosatelitů, provedla genotypizaci a charakterizovala jsem je pomocí programů Genopop a Cervus 3.0.7.

Klíčová slova: pelikán bílý, *Pelecanus onocrotalus*, trubkonosí, *cross-species* PCR amplifikace, mikrosatelist

Počet stran: 60

Počet příloh: 3

Jazyk: český

Bibliographic identification

Author's first name and surname: Veronika Adámková

Title of thesis: The analysis and characterization of selected polymorphic microsatellites from order Procellariiformes in Great White Pelican (*Pelecanus onocrotalus*)

Type of thesis: Master

Department: Department of Cell Biology and Genetics, Faculty of Science, Palacký University in Olomouc

Supervisor: RNDr. Petr Nádvorník, Ph.D.

The year of presentation: 2021

Abstract

The content of my master thesis was to analyze and characterize polymorphic microsatellites in the white pelican (*Pelecanus onocrotalus*).

I outlined phylogenetic relationships in the clade Aequorlitornithes in the theoretic part. Furthermore, I dealt with classification and characteristics of white pelican into the system, particularly I described genus pelican and species white pelican. The last component of the theoretic part was characteristics of the microsatellites, their mutations, utilization and description of the isolation methods (*de novo*, cross-species and *in silico*).

I used method of cross-species PCR amplification in the experimental part. I had 42 microsatellites available which I characterized on 21 unrelated individuals of white pelican, which were primarily estimated for study of species variability from order tubinares (Procellariiformes) from family albatrosses (Diomedeidae), procellariids (Procellariidae) and hydrobatides (Hydrobatidae) and from order Charadriiformes and family Charadriidae. I confirmed polymorphism in 36 microsatellites all together, I did their genotypization and I characterized them by programs Genopop and Cervus 3.0.7.

Keywords: Great White pelican, *Pelecanus onocrotalus*, Procellariiformes, microsatellite, cross-species PCR amplification

Number of pages: 60

Number of appendices: 3

Language: Czech

Obsah

| | |
|---|----|
| Úvod..... | 7 |
| Cíle práce | 8 |
| 1 Literární přehled | 9 |
| 1.1 Systematické zařazení pelikána bílého..... | 9 |
| 1.2 Rod pelikán | 10 |
| 1.3 Pelikán bílý..... | 12 |
| 1.4 Mikrosateliity | 13 |
| 1.4.1 Klasifikace mikrosatelitů..... | 13 |
| 1.4.2 Mutace mikrosatelitů | 13 |
| 1.4.3 Využití mikrosatelitů | 14 |
| 1.4.4 Hledání mikrosatelitů | 14 |
| 1.4.5 Mikrosateliity izolované u ptáků z řádu trubkonosí | 15 |
| 1.4.6 Mikrosateliity izolované <i>de novo</i> u pelikánů..... | 15 |
| 1.4.7 <i>Cross-species</i> PCR amplifikace u pelikánů..... | 16 |
| 2 Materiál a metody..... | 19 |
| 2.1 Biologický materiál..... | 19 |
| 2.2 PCR amplifikace genomické DNA | 19 |
| 2.3 Chemikálie | 21 |
| 2.4 Roztoky | 22 |
| 2.5 Laboratorní přístroje..... | 24 |
| 2.6 Analýza PCR produktů pomocí elektroforetické separace | 24 |
| 3 Výsledky..... | 28 |
| 4 Diskuze | 36 |
| 5 Závěr..... | 44 |
| 6 Didaktická část | 45 |
| 7 Přílohy | 46 |
| 8 Literatura | 53 |

Úvod

Mikrosateliity jsou úseky DNA složené z tandemově se opakujících repetic, jejichž délka je v řádu jednotek nukleotidů. Mikrosateliity jsou často délkově variabilní, kdy se v populaci na jednom lokusu nachází více alel. Mají široké využití, především v genetice, kde se používají jako molekulární markery. Často u nich také dochází k mutacím. Mikrosateliity mohou být izolovány pomocí izolace *de novo*, *cross-species* nebo *in silico*.

V laboratoři populační genetiky se dlouhodobě řeší vodní ptáci kladu Aequorlitornithes a hledají se pro ně *cross-species* polymorfní mikrosateliity. Tato práce bude tematicky v souladu, protože pomocí *cross-species* PCR amplifikace se budu snažit ověřit polymorfismus 42 mikrosatelitů a charakterizovat je na 21 nepříbuzných jedincích pelikána bílého.

Cíle práce

1. Shromáždění dostupných literárních zdrojů.
2. Vypracování rešerše na téma diplomové práce.
3. Amplifikace a charakteristika vybraných polymorfních mikrosatelitních lokusů na DNA 21 nepříbuzných jedinců pelikána bílého; jedná se o mikrosateliity označené jako polymorfní v bakalářské práci Hudzieczková, A. (2019): *Cross-species amplifikace mikrosatelitů z řádu trubkonosí u pelikána bílého (*Pelecanus onocrotalus*)*.

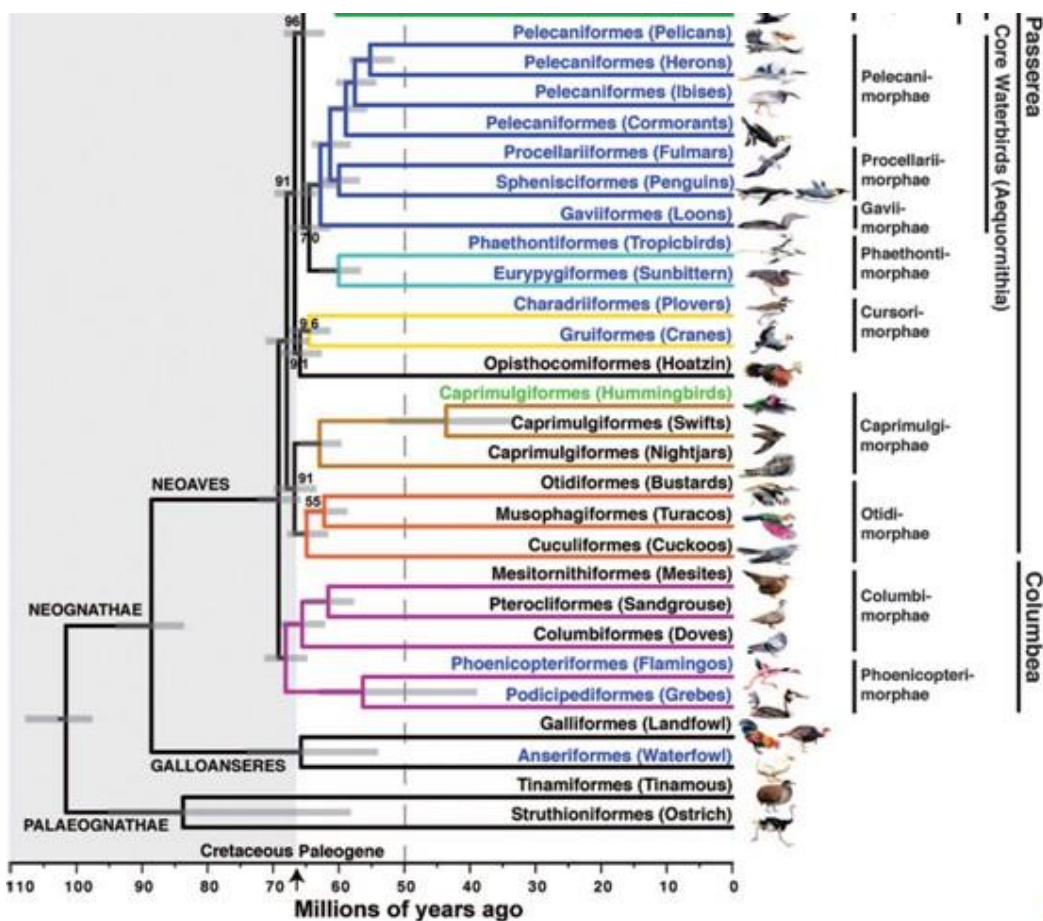
1 Literární přehled

1.1 Systematické zařazení pelikána bílého

V tradičním pojetí systému ptáků zahrnuje řád Pelecaniformes 6 čeledí vodních ptáků: terejovité (Sulidae), kormoránovité (Phalacrocoracidae), fregatkovité (Fregatidae), faetonovité (Phaetontidae), anhingovité (Anhingidae) a pelikánovité (Pelecanidae) (Nelson, 2005; Gaisler *et al.*, 2007). Novější taxonomické revize založené na podrobnějším zkoumání a aplikaci molekulárních technik plně změnily pohled na systém a fylogenezi tohoto řádu. Nejdříve byli úplně vyjmuti faetonovití, kteří byli označeni za zcela nepříbuznou skupinu. Zbylých 5 čeledí bylo zařazeno do podřádu Pelecani. Novější studie však kromě čeledi Pelecanidae a Fregatidae řadí zbylé čeledi řádu Pelecaniformes do řádu Suliformes. Řád Pelecaniformes tvoří dnes čeleď pelikánovití, dále monotypické čeledi kladivoušovití, člunozobcovití a též jsou zde některými autory řazeny čeledi volavkovití a ibisovití (Kovalík *et al.*, 2010). Čeleď fregatkovití, byla z řádu veslonozí odstraněna a byla označena za sesterskou skupinu tučňáků. Podle metody DNA-DNA hybridizace bylo zjištěno, že nejpříbuznější jsou čeledi terejovití, kormoránovití a anhingovití. Hedges *et al.* (1994) z dat odvodili, že čeleď pelikánovití je nejpříbuznější k člunozobci africkému (*Balaeniceps rex*). Mayr *et al.* (2003) na základě studia jejich fylogeneze do čeledi pelikánovití kromě rodu pelikán zařadili i člunozobce afrického (*Balaeniceps rex*) a kladivouše afrického (*Scopus umbretta*).

Jarvis *et al.* (2014) na základě molekulárních dat vytvořili podobu systému ptáků, mimo jiné rozdělili Neornithes na 2 základní skupiny (Paleognathae a Neognathae). Skupina Neognathae byla rozčleněna na Galloanseres a Neoaves, která zahrnuje i pelikány. Pomocí dalších podrobných fylogenetických analýz byla skupina Neoaves dále rozdělena na 2 velké samostatné klady - Passera a Columbea. Součástí kladu Passera je i klad Aequornithia, do kterého patří právě vodní ptáci s výjimkou vrubozobých, kteří se řadí do kladu Galloanseres.

Obrázek č. 1: Fylogenetické rozdělení ptáků podle Jarvis *et al.* (2014)



Prum *et al.* (2015) ustanovili klad Aequorlitorinthes, který zahrnuje 2 hlavní skupiny. Do první skupiny zařadili plameňáky (Phoenicopteriformes), dlouhokřídlé (Charadriiformes) a potápky (Podicipediformes). Do druhé skupiny zahrnuli slunatce, kagu, potáplice (Gaviiformes), trubkonosé (Procellariiformes), tučňáky (Sphenisciformes), brodivé (Ciconiiformes) a veslonohé (Pelecaniformes). V rámci druhé skupiny byl původní řád veslonozí (Pelecaniformes) rozdělen na řád Pelecaniformes v užším slova smyslu, kam byla zahrnuta čeled Pelecanidae (pelikánovití). Faetoni byli zařazeni do jedné skupiny společně se slunatcem nádherným (*Eurypyga helias*), kagu chocholatým (*Rhynochetos jubatus*). Další výraznou změnou je, že zbytek řádu Pelecaniformes vytvořil vlastní řád Suliformes zahrnující čeledě kormoránovití, anhingovití, fregatkovití a terejovití.

1.2 Rod pelikán

Rod pelikán (*Pelecanus*) je jediným rodem čeledi pelikánovití (Pelecanidae). Jedná se o velké vodní ptáky s příznačnou veslovací nohou, která má všechny 4 prsty

spojené pomocí plovací blány (Gaislet *et al.*, 2007). Je pro ně charakteristický roztažitelný vak, který se nachází pod spodní čelistí a byl vytvořen jako adaptace na lov ryb. Velké kolonie pelikánů za den zkonzumují až 20 kg ryb, proto se každý den musí přemisťovat až na vzdálenost 160 km, aby nedošlo k vyčerpání zdrojů (Alderton, 1995). Kořist pelikánů může být různé velikosti, od malých ančoviček a sardinek, až po větší úlovky, jako je kapr, okoun či štika (Winkler *et al.*, 2015). Do vaku mohou nabrat vodu, která může mít objem až okolo 14 l. Vak často pelikáni používají, kdy se jeho roztažením a pulzací ochlazují (Šťastný *et al.*, 1998).

Operení bývá po většinu času bílé barvy, často s šedými nebo růžovými skvrnami, kromě pelikána hnědého. Mladí jedinci jsou nenápadného zbarvení, oproti dospělcům. Pelikáni mají dlouhý krk, který jim umožňuje položení si velkého zobáku na prsa. Nohy jsou krátké a jsou umístěny daleko od sebe, v zadní části těla, aby mohly sloužit jako účinná pádla (del Hoyo *et al.*, 1992). Ryby chytají většinou v koloniích a mají při tom křídla zdvižená nad vodní hladinu (Alderton, 1995). Vzlet z vodní hladiny je díky jejich hmotnosti obtížný a vyžaduje spoustu úsilí. Potřebují také i velký prostor, aby mohli vzlétnout. Rozběhnou se po vodní hladině, zatímco současně mávají křídly a kopou nohami, dokud se jim nepodaří vzlétnout (del Hoyo *et al.*, 1992).

Je známo celkem 8 druhů pelikánů – pelikán bílý (*Pelecanus onocrotalus*), p. hnědý (*P. occidentalis*), p. africký (*P. rufescens*), p. australský (*P. conspicillatus*), p. kadeřavý (*P. crispus*), p. skvrnozobý (*P. philippensis*), p. severoamerický (*P. erythrorynchos*) a p. chilský (*P. thagus*). Vyskytuje se v široké škále vodních prostředí, ať už se jedná o otevřené oceány, slaná jezera, močály, řeky a jejich delty. Preferují mělké vody, zejména kvůli jejich stylu lovu ryb (del Hoyo *et al.*, 1992). Pelikáni a kormoráni mohou během roku měnit stanoviště, mohou tedy střídat prostředí se sladkou a slanou vodou (Winkler *et al.*, 2015).

Hnízdí na zemi i na stromech, hnízda si často stavějí z větví (Gosler, 1994). Na začátku páření se jejich peří zbarvuje pestrými barvami, a tím může dojít k odlišení pohlaví (del Hoyo *et al.*, 1992). Pohlavní dospělosti dosahují pelikáni až po několika letech (3–5 let). Jedná se o jedince, kteří se dožívají vysokého věku (15–25 let), v zajetí se můžou dožít až 54 let (Hanzák *et al.*, 1974, Šťastný *et al.*, 1998).

1.3 Pelikán bílý

Pelikán bílý (*Pelecanus onocrotalus*) je středně velký vodní pták, který je často velikostně připodobňován k labuti (Bouchner, 1989). Délka nataženého těla se pohybuje okolo 140 až 160 cm a jeho hmotnost může být až 11 kg. Pelikán bílý je velice dobrý letec a plachtař. Křídla jsou dlouhá a široká, jejich rozpětí je od 2 do 2,8 m (Gosler, 1994). Dospělí jedinci mají bílé zbarvení peří, občas s nádechem do růžova, jen konce křídel mají tmavě hnědě až černě zbarvené. Zobák mají zářivě žlutý, je zakončený červeně zbarvenou špičkou. Mláďata jsou nejprve růžově zbarvená a nahá, následně se jejich tělo pokrývá hustým hnědým peřím (Brown *et al.*, 1982). Od ostatních druhů pelikánů se pelikán bílý liší červeně zbarvenýma nohami (Hanzák *et al.*, 1974).

Potravu pelikánů tvoří především ryby, které mohou dosahovat hmotnosti až 600 g. Dokáží pojmut větší ryby než pelikán africký, pokud jsou k dispozici, tak tvoří až 90 % jeho jídelníčku (Brown *et al.*, 1982). Největším úlovkem pelikána byl kapr, který vážil 1850 g (Šťastný *et al.*, 1998).

V době páření mají samec i samice malou chocholku v oblasti týla a peří má růžový nádech (Gosler, 1994). Hnízdí často v roztroušených koloniích, které mohou mít až 3000 párů. Kolonie se nacházejí na méně dostupných místech, především kvůli ochraně před predátory. Velikost hnízda je přiměřená tělu pelikánů a je postaveno z rákosí, které sbírá samec, samice hnízdo staví (Brown *et al.*, 1982). Na vejcích sedí samice i samec, který ji vystřídá pouze v případě, kdy se samice potřebuje nasytit. Samice usedá na první vejce a druhé snáší až po čtrnácti dnech, proto bývají mláďata z jednoho hnízda odlišného stáří. Obvyklá doba sezení na vejcích je až 6 týdnů. Mívá 2–4 vejce, která jsou namodralá a mají vápenitou skořápku (Bouchner, 1989). Mláďata se líhnou po 33 dnech, jsou nidikolní a krmena dvakrát denně (Hanzák *et al.*, 1974).

Pelikán bílý se vyskytuje v okolí alkalických a sladkovodních jezer, zřídka i u mořského pobřeží (Brown *et al.*, 1982). Rozšíření pelikána bílého je od jihovýchodní Evropy (Rumunsko a Bulharsko) až po Mongolsko, dále pak Afrika jižně od Sahary, severozápad Indie nebo jižní Vietnam (Hanzák *et al.*, 1974, Šťastný *et al.*, 1998).

1.4 Mikrosateli

Mikrosateli jsou určité úseky DNA se speciální strukturou, kde se bezprostředně za sebou opakují několikanukleotidové sekvence, s různou délkou páru bazí. Jsou známé jako SSRs (Simple Sequence Repeats) nebo STRs (Short Tandem Repeats). Jejich rozložení není stejnoměrné, ale vyskytují se v kódujících i nekódujících oblastech DNA, téměř u všech prokaryotních i eukaryotních organismů (Tóth *et al.*, 2000; Zane *et al.*, 2002; Oliveira *et al.*, 2006). Mikrosateli jsou rozprostřeny po celém genomu a délka jejich repetic se může lišit. Různí autoři uvádějí různá čísla, 2–8 bp nebo 1–5 bp (Zane *et al.*, 2002; Kantartzi 2013). Jsou využívány především při studiu evolučních vztahů nebo při určení příbuznosti jako genetické markery (Zane *et al.*, 2002).

1.4.1 Klasifikace mikrosatelitů

Podle Tóth *et al.* (2000) se mikrosateli rozdělují na základě délky jejich základní jednotky na mono-, di-, tri-, tetra- až polynukleotidové repetic. Bylo zjištěno, že repetic poly (A/T) u všech taxonů vyskytují více než repetic poly (C/G). Mezi nejčastěji zastoupené repetic patří trinukleotidové a hexanukleotidové mikrosateli (Oliveira *et al.*, 2006).

Další rozdelení mikrosatelitů uvádějí ve své práci Oliveira *et al.* (2006), kteří je rozdělují podle typu opakování na 4 skupiny: dokonalé, nedokonalé, přerušované a složené. Dokonalé mikrosateli nemají opakovou sekvenci základního motivu přerušenou žádnou bází (např. TATATATATATATA). Od nich se odlišují nedokonalé mikrosateli, které mají vloženou bázi, která přerušuje jejich základní sekvenci (např. TATATACTATATA). U přerušovaných mikrosatelitů je do základního motivu vložena sekvence bází, která danému motivu neodpovídá (např. TATATACGTATATATA). Složené mikrosateli jsou tvořeny dvěma různými jednotkami repetic, které spolu sousedí (např. TATATATATAGTGTGTGTGT).

1.4.2 Mutace mikrosatelitů

Mutace mikrosatelitů jsou častější u mikrosatelitů s větším počtem repetitivních jednotek, jsou relativně nestabilní a jejich četnost se pohybuje od 10^{-2} do 10^{-6} nukleotidů na jednu generaci (Goldstein *et al.* Schlötterer, 1999). Mechanismus, který je zodpovědný za mutaci mikrosatelitů, je popisován jako sklouznutí DNA

polymerázy při replikaci (DNA replication slippage) (Schlötterer, 2000). Princip sklouznutí DNA polymerázy při DNA replikaci spočívá v prozatimním odloučení řetězců DNA a v jiném místě dochází k jejich opětovnému spárování do dvoušroubovice. Takto dochází k posunu bází a nově vznikající vlákno se tak prodlužuje nebo zkracuje (Olivier *et al.*, 2006).

U lidí mohou mutace trinukleotidových mikrosatelitů způsobovat neurodegenerativní autozomálně dominantní dědičné onemocnění, Huntingtonovu chorobu. Toto onemocnění je způsobeno zmožením opakování tripletů CAG (Tóth *et al.*, 2000).

1.4.3 Využití mikrosatelitů

Díky jednoduché PCR amplifikace se z mikrosatelitů staly oblíbené genetické markery, které mají široké uplatnění v genetice (Schlötterer, 2000) a používají se především ke studiu vnitrodruhových vztahů (např. příslušnosti k poddruhu či geograficky oddělené populaci), ale i k určení příbuznosti mezi jednotlivými jedinci (Vieira *et al.*, 2016). Hlavním nedostatkem mikrosatelitů je i to, že od druhů, které jsem zkoumány poprvé, musí nejdříve proběhnout izolace *de novo*. Protože se mikrosateliity nacházejí především v nekódujících oblastech genomu, je obtížné navrhnout univerzální primery (Zane *et al.*, 2002).

1.4.4 Hledání mikrosatelitů

Izolace mikrosatelitů může být provedena pomocí různých metod. Mezi základní 3 metody izolace patří metoda *de novo*, *cross-species* PCR amplifikace a *in silico* (Zane *et al.*, 2002; Dawson *et al.*, 2010).

Izolace *de novo* se využívá při zkoumání druhů, které jsou předmětem zájmu poprvé. Problém je, že v nekódujících oblastech genomu se mikrosateliity nacházejí ve větší míře, než v kódujících oblastech v důsledku toho je velice obtížné navrhnout tzv. univerzální primery. Izolace mikrosateliitních lokusů metodou *de novo* je složena z několika kroků. Nejprve dojde k izolaci DNA zkoumaného druhu a k vytvoření knihovny. V další fázi přichází na řadu sekvenování, následně pak navrhování primerů, optimalizace podmínek PCR amplifikace a nakonec ověření polymorfismu na nepříbuzných jedincích. Tato metoda je však velmi časově náročná, proto jsou navrhovány nové alternativní metody, které by čas izolace mohly zkrátit (Zane *et al.*, 2002).

Jednotlivé alely mohou být rozlišeny díky gelové elektroforetické separaci. Homozygotní lokus je typický tím, že má obě alely stejné, zatímco lokus heterozygotní obsahuje jiný počet repetic na každé alele (Oliviera *et al.*, 2006). Pomocí metody *cross-species* PCR amplifikace lze u druhů, které jsou si blízce příbuzné, využít PCR primery jednoho druhu ke zjištění polymorfismu u druhu druhého (Moore *et al.*, 1991). *Cross-species* PCR amplifikace, která využívá dříve navržené primery pro jiné druhy, které jsou spolu v těsném příbuzenském vztahu. Často úspěšnost PCR amplifikace zvyšuje fylogenetická blízkost zdrojového a cílového druhu. S rostoucí fylogenetickou vzdáleností mezi zdrojovým a testovaným druhem klesá úspěšnost *cross-species* PCR amplifikace, kterou lze také ovlivnit například snížením teploty annealingu (Primmer *et al.*, 1996, Primmer *et al.*, 2005).

Metoda *in silico* je nejnovější metoda, která se dá využít pro nalezení mikrosatelitů. Jedná se o rychlejší a levnější formu izolace, a proto postupně vytlačuje metodu *de novo*. Princip spočívá v průzkumu databází sekvencí DNA pomocí programů (Dawson *et al.*, 2010, Dawson *et al.*, 2013). Příkladem mohou být programy MISA (MIroSATellite), Tandem-Repeats Finder či TROLL (Tandem Repeats Occurrent Locator) (Sharma *et al.*, 2007).

1.4.5 Mikrosateliity izolované u ptáků z řádu trubkonosí

Řád trubkonosí (Procellariiformes) se dělí do 4 čeledí. Jsou to čeledi albatrosovití (Diomedeidae), buřňákovití (Procellariidae), buřňáčkovití (Hydrobatidae) a buřníkovití (Pelecanoididae). V Laboratoři populační genetiky na Katedře buněčné biologie a genetiky PřF Univerzity Palackého v Olomouci bylo celkem studováno 213 mikrosatelitních lokusů, z nichž 207 pochází od 3 čeledí řádu trubkonosých (albatrosovití, buřňákovití a buřňáčkovití), 5 od zástupců z řádu dlouhokřídlí a 1 z řádu pěvci. V laboratoři nejsou k dispozici žádné mikrosateliity od poslední čeledě buřníkovitých.

1.4.6 Mikrosateliity izolované *de novo* u pelikánů

Pomocí izolace mikrosatelitů *de novo* bylo nalezeno celkem 10 mikrosatelitních lokusů, které jsou známé od dvou druhů pelikánů.

U pelikána severoamerického bylo celkem testováno 25 páru primerů, z nichž 9 mikrosatelitních lokusů (PeEr 01–09) bylo polymorfních u 23 jedinců. Nejdříve

byla provedena extrakce DNA a poté byly navrženy primery, které byly následně použity pro PCR amplifikaci. Autoři u polymorfních mikrosatelitů nalezly od 2 do 8 alel (Hickman *et al.*, 2008).

U pelikána bílého bylo izolováno 10 mikrosatelitních lokusů (PEL086, PEL149, PEL175, PEL185, PEL188, PEL190, PEL207, PEL221, PEL265 a PEL304). Pro PCR amplifikaci byly navrženy primery a následně byly testovány u 46 jedinců, kteří pocházeli ze dvou populací. 23 jedinců pocházelo z oblasti Jihoafrické republiky a 23 jedinců bylo z Namibie. Počet alel se pohyboval v rozmezí od 2 do 19 na lokus. Nesoulad s Hardy-Weinbergovou rovnováhou vykazovaly dva mikrosatelitní lokusy (PEL185 a PEL221) (De Ponte Machado *et al.*, 2009).

1.4.7 *Cross-species* PCR amplifikace u pelikánů

De Ponte Machado *et al.* (2009) nalezli celkem 10 mikrosatelitních lokusů u tří druhů pelikánů a u všech tří vykazovaly polymorfismus. U pelikána afrického se jednalo o jednoho jedince, u pelikána hnědého o pět jedinců a u pelikána severoamerického o dva jedince. Dva mikrosateliity z deseti (PEL086 a PEL185) u pelikána afrického nebyly úspěšně amplifikovány. Ostatní mikrosatelitní lokusy poskytly produkty s 1–7 alelami na lokus.

Populace pelikána severoamerického byla zkoumána z hlediska genetické struktury. Cekem bylo prostudováno 10 mikrosatelitních lokusů, z nichž 7 mikrosatelitů (PeEr01, PeEr02, PeEr03, PeEr04, PeEr06, PeEr08 a PeEr09) bylo izolováno od pelikána severoamerického (Hickman *et al.*, 2008) a zbylé 3 mikrosateliity (PEL086, PEL149 a PEL304) byly získány od pelikána bílého (de Ponte Machado *et al.*, 2009). PCR amplifikace byla provedena celkem na 333 jedincích, kteří pocházeli z 19 různých kolonií. U pelikána severoamerického se počet alel pohyboval v rozmezí od 4 do 13 na lokus a počet alel u pelikána bílého byl v rozmezí od 7 do 19 (Reudink *et al.*, 2011).

Jeyasingham *et al.* (2013) se zabývali výzkumem genového toku u pelikána chilského. Testovali celkem 7 mikrosatelitních lokusů izolovaných od pelikána severoamerického a bílého na 83 jedincích. Lokusy PeEr02, PeEr03, PeER05, PeEr07 a PeEr09 byly izolovány od pelikána severoamerického (Hickman *et al.*, 2008) a zbylé dva lokusy pocházely od pelikána bílého (PEL149 a PEL185) (de

Ponte Machado *et al.*, 2009). Počet alel se pohyboval v rozmezí od 4 do 26 na lokus, v průměru bylo nalezeno 12 alel na lokus. Autoři nalezli nulové alely u lokusu PeEr05.

Laboratoř populační genetiky na Katedře buněčné biologie a genetiky Přírodovědecké fakulty Univerzity Palackého v Olomouci se v bakalářských a diplomových pracích věnuje *cross-species* PCR amplifikaci u vybraných druhů velkých vodních ptáků. V přehledu uvádím pouze ty, které se věnovaly pelikánu bílému.

Buržáková (2011) pomocí *cross-species* PCR amplifikace ve své bakalářské práci testovala celkem 137 mikrosatelitních lokusů u pelikána bílého a pelikána skvrnozobého. Páry primerů byly odvozeny pro amplifikaci mikrosatelitů příbuzných druhů ptáků z řádu veslonozí, plameňáci, brodiví a vrubozobí. Celkem nalezla 20 polymorfních mikrosatelitů, z nichž jeden byl nehodnotitelný kvůli velkému počtu *stutter* bandů. 13 polymorfních mikrosatelitů pocházelo z řádu veslonozí, 3 polymorfní mikrosatelity z řádu brodiví a z řádu plameňáci nalezla 4 polymorfní mikrosatelity.

Bartoňková (2013) se ve své diplomové práci zabývala *cross-species* PCR amplifikací u pelikána bílého a pelikána skvrnozobého. K PCR amplifikaci použila 82 páru primerů, které amplifikují 84 polymorfních lokusů u pelikána bílého a 18 polymorfních lokusů u pelikána skvrnozobého. Testovala lokusy, které byly prohlášeny za polymorfní u různých druhů pelikánů a v diplomových pracích Ranochová (2008) a Mikulová (2010) a v bakalářské práci Buržáková (2011). Celkem u pelikána bílého nalezla 10 polymorfních mikrosatelitů, které charakterizovala na 21 nepříbuzných jedincích.

Kremlová (2019) ve své bakalářské práci testovala pomocí *cross-species* PCR amplifikace 173 páru primerů na 6 nepříbuzných jedincích pelikána bílého. 113 páru primerů bylo navrženo pro amplifikaci u 9 druhů tučňáků, 36 páru primerů pro EST ptačí mikrosatelity a 24 páru primerů pro konzervované ptačí mikrosatelity. Celkem nalezla 35 polymorfních mikrosatelitů, z nichž 18 bylo od 7 druhů tučňáků, 10 polymorfních EST ptačích mikrosatelitů a zbylých 7 konzervovaných ptačích mikrosatelitů. Výzkumem polymorfismu se zabývala i ve své diplomové práci (Kremlová, 2021). Pomocí *cross-species* PCR amplifikace mikrosatelitů, které

označila za polymorfní ve své bakalářské práci (Kremlová, 2019), zjistila, že ne všechny mikrosatelity, které označila jako polymorfní ve své bakalářské práci skutečně vykazují polymorfismus. Celkem potvrdila 32 párů primerů, které amplifikovaly celkem 34 polymorfních lokusů, z nichž 17 párů primerů bylo navrženo pro amplifikaci mikrosatelitů pocházejících z rádu tučňáci a 15 párů primerů bylo navrženo pro amplifikaci univerzálních ptačích mikrosatelitů.

Hudzieczková (2019) se ve své bakalářské práci zabývala hledáním polymorfních mikrosatelitů u pelikána bílého pomocí *cross-species* PCR amplifikace. Na 213 párech primerů (207 z rádu trubkonosí, 5 z rádu dlouhokřídlí a 1 z rádu pěvci) nalezla celkem 47 polymorfních produktů, které byly amplifikovány na 46 párech primerů (Dc5 poskytoval 2 produkty). 46 párů primerů, které amplifikovaly polymorfní PCR produkt, budu testovat v praktické části své diplomové práce. Přesný soupis čeledi, zdrojového druhu, příslušných mikrosatelitů, včetně literárního zdroje je v Tabulce č. 2 v kapitole Materiál a metody.

2 Materiál a metody

2.1 Biologický materiál

Zoologické zahrady Dvůr Králové, Jihlava a Liberec poskytly biologický materiál pro praktickou část mé diplomové práce. Krev byla odebrána 21 nepříbuzným jedincům pelikána bílého (*Pelecanus onocrotalus*) z tarzální žily dolní končetiny. DNA byla vyizolována pomocí fenol-chloroformové metody mým vedoucím práce, naředěna v TE pufru, spektrofotometricky změřena její koncentrace a naředěna pro PCR v koncentraci 10–20 µg/ml.

2.2 PCR amplifikace genomické DNA

PCR amplifikace byla provedena na 21 nepříbuzných jedincích pelikána bílého. K testování bylo použito celkem 42 párů primerů. V Tabulce č. 1 je uvedeno složení reakční směsi, které bylo připraveno pro 21 vzorků každého páru primerů.

1. Každá složka PCR mixu byla napřed ponechána při laboratorní teplotě, aby rozmrzla a následně byla zvortexována a zcentrifugována. Do 1,5ml mikrozkumavky byly napijetovány jednotlivé složky PCR mixu podle Tabulky č. 1 a poté znova zvortexovány a zcentrifugovány.

Tabulka č. 1: Složení PCR reakční směsi pro 21 vzorků.

| Složení PCR mixu | Objem [µl] |
|--------------------------------------|------------|
| Deionizovaná voda | 177,6 |
| Reakční pufr (10x) | 26,8 |
| Roztok MgCl ₂ (25 mmol/l) | 16,0 |
| Roztok dNTPs (20 mmol/l) | 2,8 |
| Primer R (10 µmol/l) | 13,2 |
| Primer F (10 µmol/l) | 13,2 |
| aTaq DNA polymeráza (5U/µl) | 6,0 |

2. Do každé z připravených 0,2ml mikrozkumavek bylo napijetováno po 1µl genomické DNA a následně 9 µl PCR reakční směsi.
3. Uzavřené mikrozkumavky byly vloženy do termocykleru, kde podle teplotního a časového rozpisu probíhá reakce podle schématu č. 1.

Schéma č. 1: Časový a teplotní profil PCR reakce.

1. 94 °C ... 5 minut
2. 94 °C ... 30 s
 T_A °C ... 30 s
 72 °C ... 30 s } 35 cyklů
3. 72 °C ... 7 min

Jako teplota annealingu (T_A) byla použita finální teplota, která byla uvedena v bakalářské práci Anety Hudzieczkovej (2019).

Tabulka č. 2: Seznam 42 mikrosatelitních lokusů od druhů z řádu trubkonosí, které byly označeny jako polymorfní u pelikána bílého v bakalářské práci Hudzieczkovej (2019). V případě problematického produktu byla teplota snižována nebo zvyšována, viz. Tabulka č. 3 v kapitole Výsledky.

| Čeleď | Zdrojový druh | Mikrosateli | Literární zdroj |
|---------------------------------|--|---------------------------------|----------------------------------|
| albatrosovití (Diomedeidae) | albatros stěhovavý (<i>Diomedea exulans</i>) | 7D8, 11H1 | Dubois <i>et al.</i> , 2005 |
| | albatros šedohlavý (<i>D. chrysostoma</i>) | Dc5, Dc31 | Burg, 1999 |
| | albatros šedohlavý, albatros stěhovavý | D24 | |
| | albatros černobrvý (<i>T. melanophris</i>), albatros šedohlavý | De35 | Burg <i>et Croxall</i> , 2001 |
| | albatros černonohý (<i>Phoebastria nigripes</i>) | BFAL4 | Hernandez <i>et al.</i> , 2014 |
| | albatros laysanský (<i>P. immutabilis</i>) | LAAL19 | |
| buřňákovití (Procellariidae) | buřňák bělobradý (<i>P. aequinoctialis</i>) | Paequ2, Paequ3, Paequ8 | Techow <i>et O'Ryan</i> , 2004 |
| | buřňák taiko (<i>Pterodroma magentae</i>) | Tch6 | Lawrence, 2008 |
| | buřňák trinidadský (<i>P. arminjoniana</i>) | Parm02 | Brown <i>et Jordan</i> , 2009 |
| | buřňák havajský (<i>P. sandwichensis</i>) | Ptero04, Ptero06, Ptero09 | Welch <i>et Fleischer</i> , 2011 |
| | buřňák šedý (<i>Calonectris diomedea</i>) | Cd1, Cd2, Cd3, Cd4, Cd5, Cd6 | Bried <i>et al.</i> , 2008 |
| | buřňák světlonoohý (<i>Puffinus carneipes</i>) | Pc B109 | Hardesty <i>et al.</i> , 2013 |

Tabulka č. 2: Pokračování.

| Čeleď | Zdrojový druh | Mikrosatelly | Literární zdroj |
|---------------------------------|--|--|---|
| buřňákovití (Procellariidae) | buřňák baleárský <i>(P. mauretanicus)</i> | Puff 1.5 | Gonzalez <i>et al.</i> , 2009 |
| | buřňák útlozobý <i>(Pachyptila belcheri)</i> | Patbel2, Patbel3, Patbel6, | Quillfeldt <i>et al.</i> , 2012 |
| | | Pacbel_08867, Pacbel_10895, Pacbel_15327 | Moodley <i>et al.</i> , 2015 |
| buřňáčkovití (Hydrobatidae) | buřňáček dłouhokrídly <i>(Oceanodroma leucorhoa)</i> | Ole01, Ole09, Ole13, Ole19, Ole25, Ole26 | Bicknell <i>et al.</i> , 2011 |
| | buřňáček madeirský <i>(O. castro)</i> | Oc28B, Oc79, Oc84 | Sun <i>et al.</i> , 2009 |
| | buřňáček Monteirův <i>(O. monteiroi)</i> | Omn3, Omn8 | Bried <i>et al.</i> , 2012 a Andris <i>et al.</i> , 2012 |
| kulíkovití (Charadriidae) | kulík mořský <i>(Charadrius alexandrius)</i> | Calex-01 | Brown <i>et al.</i> , 2009 |

2.3 Chemikálie

- Akrylamid (Sigma)
- aTaq DNA polymeráza (5 U/μl), M1241 (Promega)
- Bromfenolová modř (Serva)
- Deionizovaná voda
- dNTPs (100 mmol/l, 400 μl od každého), U1240 (Promega)
- Dusičnan stříbrný (Sigma)
- Ethanol, 96% roztok (Lihovar Vrbátky)
- Ethylendiaminotetraoctan sodný - Na₂EDTA (Lachner)
- Formaldehyd (Lachner)
- Formamid (Lachner)
- Hydroxid sodný (Lachner)
- Chlorid sodný (Lachema)
- Kyselina boritá (Lachner)
- Kyselina dusičná 65% roztok (Lachner)
- Kyselina octová (Lachner)

- Močovina (Lachner)
- N, N' - methylenbisakrylamid (Serva)
- N, N, N', N' - tetramethylethyldiamin - TEMED (Serva)
- Peroxodisíran amonný (Serva)
- Rain-off - tekuté stěrače (Sheran)
- Thiosíran sodný (Lachema)
- Trishydroxymethylaminomethan - Tris (AppliChem)
- Uhličitan sodný (Lachner)
- Xylenová modř - Xylenecyanol FF (AppliChem)
- 3-metakryloxypropyltrimethoxysilan (Serva)

2.4 Roztoky

1. Akrylamid, 6% zásobní roztok
 - 150 ml 40% zásobního roztoku - akrylamid: N, N'-methylenbisakrylamid (19 : 1)
 - 420 g močoviny
 - 50 ml 10x TBE
 - 484 ml deionizované vody
 - po rozpuštění všech složek zfiltrovat a uložit v temné láhvi v chladničce
2. Dusičnan stříbrný, 0,1% roztok
 - 0,8 g dusičnanu stříbrného
 - 800 ml deionizované vody
 - před použitím přidat 1,2 ml formaldehydu
3. Fix/stop roztok
 - 800 ml deionizované vody
 - 88 ml ledové kyseliny octové
4. Hydroxid sodný, 1mol/dm³ roztok
 - 40 g hydroxidu sodného
 - deionizovanou vodou doplnit do 1 l
5. Kyselina dusičná, 1% roztok
 - 12 ml 65% kyseliny dusičné
 - 800 ml deionizované vody
6. Roztok 3-metakryloxypropyltrimetoxysilanu
 - 1 ml 0,5% kyseliny octové v 96% etanolu

- 3 µl 3-methakryloxypropyltrimethoxysilanu
- 7. Nanášecí pufr pro polyakrylamidové gely
 - 0,125 g xylenové modře
 - 0,125 g bromfenolové modře
 - 100 ml formamidu
 - 25 ml deionizované vody
- 8. Peroxodisíran amonný, 10% roztok
 - 1 g peroxodisíranu amonného
 - 10 ml deionizované vody
 - rozpustit ve vodě a roztok uchovávat v chladničce
- 9. Polyakrylamidový gel, 6% roztok
 - 60 ml 6% zásobního roztoku akrylamidu
 - 400 µl 10% roztoku peroxodisíranu amonného
 - 40 µl N, N, N', N'- tetramethylethylendiaminu
 - 25 ml deionizované vody
- 10. Reakční pufr pro *Taq* DNA polymerázu, 10x
 - 80 ml deionizované vody
 - 1,211 g Tris
 - upravit pH pomocí HCl na hodnotu 9
 - 3,73 g KCl
 - 1 ml Triton X-100
 - po rozpuštění doplnit na 100 ml
- 11. TBE pufr, 10x zásobní roztok
 - 55 g kyseliny borité
 - 108 g trishydroxymethylaminomethanu (Tris)
 - 40 ml roztoku Na₂EDTA 0,5 mol/l, pH 8,0
 - doplnit do 1 l deionizovanou vodou
- 12. Vývojka
 - 24 g uhličitanu sodného
 - 800 ml deionizované vody
 - vychladit na teplotu nižší než 10 °C
 - před použitím přidat 1,2 ml formaldehydu a 160 µl roztoku thiosíranu sodného

2.5 Laboratorní přístroje

- Elektroforetický zdroj EV232 (Consort)
- Hybridizační pec HB-2D (Techne)
- Chladnička kombinovaná (Whirlpool)
- Laboratorní váhy Mark S622 (BEL Engineering)
- Magnetická míchačka MR Hei-Combi (Heidolph)
- Mikropipety Finnpipette 0,5–10 µl (osmikanálová) 0,3 µl–1 ml (jednokanálové) (Thermo Labsystem)
- Mikropipety Nichipet EX 0,5 µl–1 ml (Nichiryo)
- Minicentrifuga CLE CSQSP (Cleaver Scientific)
- Minicentrifuga Prism mini (Labnet International)
- Negatoskop NEGA (Maneko)
- Sekvenční elektroforetická komůrka S2 (Whatman Biometra)
- Sušárna CAT 8050 (Contherm)
- Termocykler GenePro (BIOER Technology)
- Termocykler PTC 100-96 VHB (MJ Research)
- Termocykler TC XP (BIOER Technology)
- Třepačka Orbit 1 900 (Labnet International)
- Vortex mixer (Labnet International)
- Vortex MS2 (Ika)
- Výrobník deionizované a ultračisté vody typ 01 (AquaOsmotic)
- Výrobník ledu Ice Flaker (Brema IceMakers)

2.6 Analýza PCR produktů pomocí elektroforetické separace

Následující postup elektroforetické separace probíhá za denaturujících podmínek. Využívá sekvenační elektroforetické komůrky S2 (Whatman Biometra) s rozměrem velkého skla 330 x 420 mm a malého skla 330 x 390 mm. Za použití 6% polyakrylamidového gelu, jehož tloušťka byla 0,4 mm.

1. Plochy velkého i malého skla, které se budou dotýkat gelu řádně umýt pomocí saponátu a kartáčku pod tekoucí vodou. Dále obě skla opláchnout deionizovanou vodou a osušit je ubrouskem.

2. Na plochu velkého skla nanést přípravek na odpuzování vody Rain off (tekuté stěrače), rozetřít pomocí ubrousku a nechat chvíli zaschnout. Po zaschnutí je zapotřebí velké sklo ošetřit znova deionizovanou vodou ze stříčky a zase usušit.
3. Plochu malého skla, která se bude dotýkat gelu je zapotřebí nejprve 2x umýt deionizovanou vodou, následně usušit a poté 2x opláchnout 96% etanolem. Poté je nutné na sklo nanést roztok 3-metakryloxypropyltrimetoxysilanu, důkladně rozetřít po celé ploše skla, nechat 5 minut zaschnout a dále sklo 4x ošetřit 96% etanolem.
4. Velké sklo přenést na nachystanou polystyrenovou desku do digestoře ošetřenou plochou vzhůru. Po jeho stranách umístit 2 spacery, jejichž tloušťka je 0,4 mm. Na spacery na velkém skle přiložit malé sklo ošetřenou plochou směrem dolů a urovnat spacery tak, aby přiléhaly ke kratší straně malého skla. Na delší straně skla upevnit pomocí 4 klipsů.
5. Do kádinky si nachystat 6% polyakrylamidový gel. Roztok je zapotřebí obezřetně promíchat krouživými pohyby a následně ho pomalu za pomocí poklepávání na sklo nalévat mezi skla, aby nedošlo ke vzniku bublin.
6. Až bude prostor mezi skly vyplněn gelem, je třeba zasunout připravený hřebínek rovnou stranou do gelu asi 5 mm. Obě skla zafixovat pomocí 4 klipsů a nechat gel po dobu 60 minut polymerizovat.
7. Po uplynutí doby, která je zapotřebí, aby došlo k polymerizaci gelu, oddělat všechny klipsy a opláchnout pod tekoucí vodou ve výlevce, aby byly odstraněny nežádoucí zbytky gelu. Malé sklo je zapotřebí osušit dosucha papírovými ubrousky a upevnit do elektroforetické komůrky pomocí šroubů.
8. Do katodového i anodového prostoru je třeba nalít dostatečné množství 0,5x TBE pufru. V dalším kroku je nutné vyjmout hřebínek a prostor, který jeho vyjmutím vznikl, důkladně pomocí injekční stříkačky promýt. Uzavřít oba prostory víkem, připojit elektrody ke zdroji stejnosměrného elektrického proudu a gel ponechat po dobu 30 minut nahřívat. Podmínky nahřívání nastavit na 90 W, proud na hodnotu 150 mA a napětí na hodnotu 3000 V.
9. Během nahřívání gelu si připravit mikrozkumavky s PCR vzorky. Ke každému vzorku přidat 5 µl nanášecího pufru a vložit je na 3 minuty do termocykleru, kde dojde k denaturaci při 96 °C. Po skončení denaturace vzorky přenést do připravené polystyrenové nádoby s ledem.

10. Po nahřátí gelu vypnout zdroj stejnosměrného elektrického proudu a odpojit elektrody. Pomocí injekční stříkačky opatrně vyčistit prostor mezi skly proudem $0,5x$ TBE pufru a následně do tohoto prostoru zasunout hřebínek tak, aby zoubky směřovaly asi 1 mm do gelu. Poté pomocí osmikanálové pipety nanést vzorky o objemu $2\mu\text{l}$ do prostor mezi zoubky hřebínu.
11. Po nanesení všech vzorků, uzavřít katodový prostor, připojit elektrody a zdroj. Parametry nastavit na výkon 70 W a hodnoty elektrického proudu a napětí nechat na maximu (150 mA a 3000 V). Doba elektroforetické separace je různá, závisí na počtu nukleotidů řetězce (90–180 minut).
12. Během separace si nachystat příslušné roztoky (roztok fix/stop, 1% roztok HNO_3 a vývojku, kterou je zapotřebí umístit do chladničky).
13. Po skončení elektroforetické separace odpojit zdroj stejnosměrného proudu, elektrody a vypustit pufr z katodového prostoru. Povolit šrouby, vyjmout skla a položit je na podložku, aby malé sklo bylo směrem vzhůru. Poté opatrně vytáhnout spacery a pomocí nože od sebe skla odlepit.
14. Malé sklo vložit do fotomisky gelem nahoru, umístit ho na třepačku a zalít roztokem fix/stopu, ten nechat působit po dobu 20 minut. Po uplynutí doby roztok slít zpět do baňky a sklo s gelem 3x propláchnout deionizovanou vodou.
15. Fotomisku umístit zpět na třepačku a sklo s gelem zalít 1% roztokem HNO_3 , který bude působit 4 minuty. Poté roztok vylít a sklo s gelem promýt 4x deionizovanou vodou.
16. Následně sklo s gelem umístit do misky, která je určena na roztok dusičnanu stříbrného a umístit ji na třepačku. Do roztoku $0,1\%$ AgNO_3 přidat $1200 \mu\text{l}$ formaldehydu, vzniklý roztok nalít na sklo s gelem a nechat působit po dobu půl hodiny. Během toho je zapotřebí si připravit misku s deionizovanou vodou.
17. Po uplynutí 30 minut roztok AgNO_3 slít zpět do zásobní lahve. Po skončení reakce sklo s gelem vložit na 5 vteřin do misky s deionizovanou vodou. Poté ho přenést do čisté fotomisky a zalít vývojkou z chladničky, do které je nutno před použitím přidat $1200 \mu\text{l}$ formaldehydu a $160 \mu\text{l}$ 1% thiosíranu sodného.
18. Postupně bude docházet k vyvýjeníobarvených bandů, které budou mít hnědočernou barvu. Až budou bandy dostatečně viditelné, zalít gel fix/stop roztokem a tím dojde k zastavení vyvýjení.

19. Po 2 minutách působení fix/stopu, roztok slít do odpadu a sklo s gelem následně umístit do misky s deionizovanou vodou. Poté sklo s gelem vložit do sušárny po dobu 30 minut a 90 °C.
20. Po usušení gel vložit gel na negatoskop, kde je za pomoci vedoucího práce hodnocen a následně byl proveden sken jednotlivých gelů, které jsou poté vloženy do roztoku NaOH, jehož koncentrace je 1 mol/dm³. Pro další použití je nutno sklo řádně umýt vodou, saponátem a opláchnout deionizovanou vodou. Takto očištěné sklo je možno opakovaně použít.

3 Výsledky

V experimentální části diplomové práce jsem se zabývala *cross-species* PCR amplifikací mikrosatelitů, které byly označeny za polymorfní u pelikána bílého (*Pelecanus onocrotalus*) v bakalářské práci Anety Hudzieczkové (Hudzieczková, 2019). Ta nalezla celkem 42 párů primerů, které poskytovaly 43 polymorfních lokusů (mikrosatelit Dc5 poskytl dva polymorfní produkty). 8 polymorfních mikrosatelitů pocházelo od zástupců z čeledi albatrosovití, 22 od zástupců z čeledi buřňákovití, 11 mikrosatelitů od druhů z čeledi buřňáčkovití a 1 z řádu dlouhokřídlí, který byl popsán u kulíka mořského. PCR amplifikaci provedla na 6 nepříbuzných jedincích pelikána bílého.

Všechny mikrosatelity jsem amplifikovala při teplotě *annealingu* (T_A), která byla označena jako finální u jednotlivých polymorfních mikrosatelitů v bakalářské práci Hudzieczkové (2019). Při PCR amplifikaci bylo nutné u některých mikrosatelitů upravit finální teplotu, délku separace či koncentraci hořečnatých iontů, protože mikrosatelity neposkytovaly dobře hodnotitelné produkty. Snížením původní koncentrace hořečnatých iontů, respektive snížením objemu roztoku $MgCl_2$, který jsem pipetovala do PCR mixu. U páru primerů pro amplifikaci mikrosatelitů Ole25 jsem koncentraci (objem) hořečnatých iontů snížila na $\frac{3}{4}$. Finální teploty byly v rozmezí od 48 do 67 °C. Nejkratší elektroforetická separace byla 90 minut, naopak nejdelší 180 minut.

Při PCR amplifikaci u 21 nepříbuzných jedinců pelikána bílého nakonec poskytlo pouze 36 mikrosatelitů celkem 37 produktů, u kterých bylo detekováno od 2 do 7 alel. U mikrosatelitu Oc28B byla nalezena 2 místa polymorfismu. Z dalších experimentů byly vyrazeny mikrosatelity: Cd2 byl mylně označen jako monomorfní a další (Dc5, Paequ2, Cd4, Ptero06 a Ole13) byly polymorfní, ale byly nezřetelné a problematicky hodnotitelné, což bylo zapříčiněno výskytem PCR artefaktů, *stutter* bandů a mutacemi v oblastech nasedání primerů. Nebo to, co bylo na 6 nepříbuzných jedincích považováno za mikrosatelitovou variabilitu, odpovídá pravděpodobně jiným sekvencím genomu. Souhrn všech polymorfních mikrosatelitů uvádí v Tabulce č. 3.

Tabulka č. 3: Charakteristika 36 polymorfních mikrosatelitů, které byly charakterizovány na 21 nepříbuzných jedincích pelikána bílého. V tabulce je uveden název lokusu, zdrojový druh, jednotka repetice, sekvence primerů, počet alel (N), teplota annealingu T_A [$^{\circ}$ C], délka elektroforetické separace (ELFO), případná odchylka od Hardy–Weinbergovy rovnováhy (HW) a jako poslední frekvence výskytu nulových alel (F).

| Název lokusu (GenBank) | Zdroj | Jednotka repetice | Sekvence primerů (5'→3') | N | T_A [$^{\circ}$ C] | ELFO [min] | HW | F |
|-------------------------------|-----------------------------------|----------------------|---|---|--------------------------|---------------|-----|--------|
| 7D8 (AY945757) | Albatros stěhovavý | GA | F: CACGCTGCACTTGTGATT R: ACACGGTTGATTCCCTCTGC | 2 | 62 | 120 | ND | - |
| 11H1 (AY945752) | | GT/GA | F: ACCGGAGCACCAAAATACCT R: CCGGTATTGACCCAGAGAGA | 2 | 62 | 90 | ND | - |
| D24 (AF096804) | Albatros stěhovavý a šedohlavý | CA | F: AGCCTGCTTTGATGGAAGC R: CACTCTATTTCTCCAGCTGA | 3 | 65 | 90 | NS | - |
| Dc31 (AF096810) | Albatros šedohlavý | GC/AN/AC/ AG | F: CTGACTCTCTGGGATGAGCC R: GTACCCCTGGAAAGCCAGAC | 4 | 61 | 90 | NS | 0,2447 |
| De35 (neuvedeno) | Albatros černobrvý a šedohlavý | neuvedeno | F: CAAACCTGAAACCTTCCAAAAC R: CCCCTGTTCTACTCTGGTC | 2 | 55 | 90 | ND | - |
| BFAL4 (neuvedeno) | Albatros černonohý | TC | F: TGGGTCAAGTTACCTCTCAGC R: GTTGCCATTAACTGTCATTGGC | 2 | 63 | 90 | *** | 0,9994 |
| LAAL19 (neuvedeno) | Albatros laysanský | ATCC | F: ATGACCAGTGCCATCAACAG R: TGGCCAGATGTGATTGAAG | 6 | 63 | 90 | NS | 0,0580 |
| Cd1 (EU029083) | Buřňák šedý | TG/TC | F: CAAGCAGTCAGAACTCTGTG R: TGAGTTGCCCTACATGAAC | 5 | 64 | 90 | NS | - |

Tabulka č. 3: Pokračování 1.

| Název lokusu (GenBank) | Zdroj | Jednotka repetice | Sekvence primerů (5'→3') | N | T _A [°C] | ELFO [min] | HW | F |
|--------------------------------------|--------------------|----------------------|---|---|------------------------|---------------|----|--------|
| Cd3 (EU029085) | Buřnák šedý | GT/CT | F: TTGCCTCTTACAGGACTGC R: TCCCTGTGGCTAAGGATCTG | 4 | 58 | 90 | NS | 0,0294 |
| Cd5 (EU029087) | | GT/AT | F: CTGCACAGACTGAGAGTATAAGATT R: GGCTTAAAGGGTAAATACACATGG | 2 | 63 | 90 | NS | - |
| Cd6 (EU029088) | | AC | F: GAGAGGAAAAAGCGTTAGGG R: TGCTGCAGTTACTGATTGGA | 2 | 58 | 90 | NS | 0,5426 |
| Puff 1.5 (EU158894) | Buřnák baleárský | GT | F: AGGCAGCAACATAGTCAC R: GCACTGATAAGGGAACTT | 2 | 55 | 90 | ND | 0,2857 |
| Ptero04 (HQ918221) | Buřnák havajský | CA | F: TGCATTGTTCTGTCCAAACTC R: GGCTGGAATGCATAGTACCAAC | 3 | 60 | 90 | NS | 0,1662 |
| Ptero09 (HQ918226) | | AAGG | F: GCAAATACCAGTCTCCAAAGG R: TTTAAGATAAAGATGTTGAGAACAC | 4 | 61 | 120 | NS | 0,1172 |
| Omn8 (JQ303232) | Buřnáček Monteirův | AC | F: TGCAACCTTAGCATTACCTAGC R: GGGCGAGCATTACATTAAA | 7 | 62 | 90 | NS | - |
| Omn3 (JQ303228) | | AC/GT | F: GCGCTTGAAAGGGTGAAGTA R: TCCCCTGAGATTAAAGGAAGA | 4 | 60 | 180 | NS | 0,2267 |
| Patbel2 (JF288776) | Burňák útlozobý | CTAT | F: GGTGTCATGCAACTGACTGAA R: CAATGGGAATGGCAGAGACT | 5 | 65 | 90 | NS | 0,0345 |
| Patbel3 (JF288777) | | CTAT | F: CCTTCCCTAGAGCAATGGAG R: TGCACACACTGAAAGAGGACA | 7 | 62 | 90 | ND | 0,0421 |

Tabulka č. 3: Pokračování 2.

| Název lokusu (GenBank) | Zdroj | Jednotka repetice | Sekvence primerů (5'→3') | N | T _A [°C] | ELFO [min] | HW | F |
|---|-----------------------|----------------------|--|---|------------------------|---------------|-----|--------|
| Patbel6 (JF288790) | Burňák útlozobý | CTAT | F: TGAGTGGGTGGAATTGAACA R: AATGGTTGGCACACTTCT | 2 | 55 | 90 | ND | - |
| Pacbel_08867 (neuvezeno) | | GA | F: TTTGGTCAATTTCCCTCGC R: ACAGAAAACCAATGTTGTTAATAGG | 3 | 55 | 90 | ND | - |
| Pacbel_10895 (neuvezeno) | | AC/AT | F: AGCTTTCTGTCTGGTAGCAC R: TGCTCCTGCCTAACGCTACG | 2 | 48 | 90 | ND | - |
| Pacbel_15527 (neuvezeno) | | CA | F: TTCTTGAGCAGTAGGAGACC R: ACCTCATGTGTAAAACCTGCC | 3 | 55 | 90 | ND | - |
| Tch6 (neuvezeno) | Burňák taiko | GT/GC | F: GTTTCTTGGTGGCTGAAGGTGTATG R: GCCATTTGAGAATGTTTCAGC | 3 | 51 | 90 | NS | 0,2495 |
| Ole01 (FR696377) | Burňáček dlouhokřídlý | ACAG | F: CACCCCTGAATCCCAGAACCAAGC R: TCAGTGAAGGTCCACTCCGAATCC | 3 | 58 | 90 | ND | - |
| Ole19 (FR696395) | | GA/CA | F: GAAGGCTCTCAAGGGTCAAG R: TTTGGGAGAAAGTTCAGTAGAAGAAC | 2 | 60 | 90 | ND | 0,3205 |
| Ole09 (FR696385) | | CA | F: GGCCTGGATTCTCGGTGTTGGG R: CAGCTACAGGCCACGGGTGC | 2 | 66 | 90 | ND | 0,8973 |
| Ole25 (FR696401) | | AGAT/ GAAA | F: CCTCCTCATCGTAGGGACTG R: TTAAAGGCAGCGATTCTGTTC | 7 | 57 | 180 | NS | 0,3907 |
| Ole26 (FR696402) | | TG | F: TCAGCTTCTGGTGCAGTTATG R: TCCTGCTGATGGATAGGTTATG | 3 | 48 | 90 | *** | 0,6086 |

Tabulka č. 3: Pokračování 3.

| Název lokusu (GenBank) | Zdroj | Jednotka repetice | Sekvence primerů (5'→3') | N | T _A [°C] | ELFO [min] | HW | F |
|---------------------------|--------------------|----------------------|--|---|------------------------|---------------|----|--------|
| Oc79 (FJ238102) | Buřnáček madeirský | AC | F: TATTCCTGGCCATGTTTCC R: GCTTCCTTGTTAGTTAGA | 2 | 54 | 90 | NS | 0,1064 |
| Oc84 (FJ238103) | | AG | F: CCTTTTCCAGGCAGACAAA R: AGTTCAAGGGCAACCTGTG | 3 | 58 | 90 | NS | - |
| Oc28B (FJ238097) | | TG | F: GCGTTGACCAGCAAATAGTC R: GGAAGGCTACCACAATTCA | 4 | 54 | 90 | NS | 0,0345 |
| Calex-01 (AM072445) | Kulík mořský | GT/GA/GC | F: CTTCTCCATTGTTGTCACCTCCAGT R: CTTGACTTGGCCTGGGTTAGGTT | 3 | 67 | 180 | ND | 0,0151 |
| Parm02 (EU360818) | Burňák trinidadský | CA | F: AGCAAGCTGACAGCAACAGA R: TGTTATGTCCTGCGGATGAG | 4 | 63 | 120 | NS | 0,0773 |
| Pc B109 (JX435475) | Burňák světlonožní | CAA | F: CTCAGAGCGATCACACTGTACT R: AAAGCATTCAAGGATGTAGGTT | 3 | 60 | 120 | NS | 0,0015 |
| Paequ3 (AY371071) | Buřnáček bělobradý | GA | F: TGTGGGTGCAGTAGAGCA R: CAATAAGAAGATCAGCAGAACAGAC | 4 | 62 | 180 | NS | - |
| Paequ8 (AY371074) | | CA | F: TATTCTGAGACTTGCCTATCC R: GTGATCCATTAGTTGATGTCTACTG | 2 | 60 | 120 | NS | - |

Legenda:

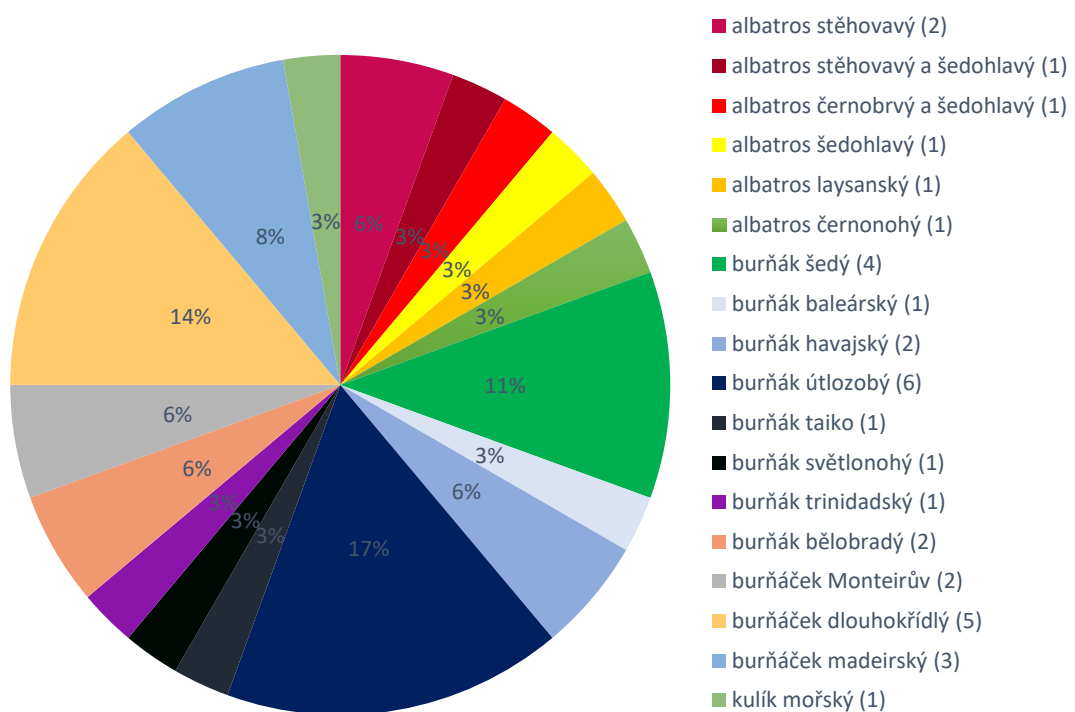
ND - lokus nelze vyhodnotit, zda je v souladu s Hardy-Weinbergovou rovnováhou

NS - lokus je v souladu s Hardy-Weinbergovou rovnováhou

*** - signifikantní odchylka od Hardy-Weinbergovy rovnováhy na hladině významnosti 0,1 %

Z 213 testovaných párů primerů pochází celkem 208 od trubkonosých a 1 od kulíka mořského z řádu dlouhokřídlí. Z čeledi albatrosobitých pocházelo 53 mikrosatelitů, nakonec jich mám polymorfních 7, což odpovídá 3,4 %. Z čeledi buřňákovití 100 mikrosatelitů, z nichž nakonec polymorfních bylo 18 (8,7 %), z čeledi buřňáčkovití 54 mikrosatelitů, z nichž polymorfních nakonec bylo 10 (4,8 %). Souhrn všech polymorfních mikrosatelitů u pelikána bílého uvádí v Grafu č. 1.

Graf č. 1: Rozdělení 36 polymorfních mikrosatelitů u pelikána bílého na základě zdrojového druhu. V závorce je uveden počet polymorfních lokusů, které byly od daného druhu polymorfní.



Amplifikací 36 párů primerů jsem našla 37 polymorfních produktů, které vykazovaly od 2 do 7 alel. Celkově jsem měla 14 dvoualelových lokusů (tj. 38,9 %), 10 tříalelových (tj. 27,7 %), 7 čtyřalelových (tj. 19,4 %), jeden pěťalelový (tj. 2,7 %), 2 šestialelové (tj. 5,56 %) a 3 sedmialelové (tj. 8,3 %).

Na základě analýzy mikrosatelitů pomocí programu Genopop (Rousset, 2008) jsem prokázala, že mezi žádnou dvojicí lokusů není vazba a všechny jsou navzájem

nezávislými markery. Potenciálně několik lokusů je vázáno na pohlaví, ale mají nízký počet alel, proto by testování muselo proběhnout na větším počtu jedinců. Pomocí programu Cervus 3.0.7 (Kalinowski *et al.*, 2007) bylo vypočítáno, že na lokus připadalo v průměru 3,351 alely a průměrná očekávaná heterozygotnost byla 0,4641. Součástí analýzy byla dále vypočítána pravděpodobnost, že by bylo mládě chybně přiřazeno k prvnímu rodiči, v případě, že jsou oba rodiče neznámí, ta činila 0,00265. Dále pravděpodobnost chybného zařazení k druhému rodiči, v případě, že je už první rodič známý činila $0,00000984$, pravděpodobnost, že bude mládě chybně přiřazeno k rodičovskému páru byla $3,48 \cdot 10^{-9}$. Pravděpodobnost výskytu dvou jedinců, kteří by měli stejný genotyp na všech lokusech, byla $7,88 \cdot 10^{-19}$ a pravděpodobnost, že dvě náhodně vybraná mláďata by měla stejný genotyp na všech lokusech, byla $6,994 \cdot 10^{-19}$.

Nejenom charakteristika z hlediska statistiky, ale i to jak se mikrosatелity lépe či hůře hodnotí je důležitá vlastnost. Mezi špatně hodnotitelné mikrosatellity patřily např. Cd4, Paequ2 a Ole13. Dobře hodnotitelné a viditelné byly mikrosatellity Paequ8, Oc79 a Cd1. Na Obrázcích č. 2, 3 a 4 jsou zobrazeny výřezy gelů těchto mikrosatelitů, které byly vygenotypovány na 21 nepříbuzných jedincích pelikána bílého.

Obrázek č. 2: Elektroforetogram dvoualelového lokusu Paequ8 u 21 nepříbuzných jedinců pelikána bílého. Teplota annealingu byla 60 °C a elektroforetická separace probíhala po dobu 120 minut. Jednotlivé alely jsou vyznačeny šipkami.



Obrázek č. 3: Elektroforetogram dvoualelového lokusu Oc79 u 21 nepříbuzných jedinců pelikána bílého. Teplota annealingu byla 54 °C a elektroforetická separace probíhala po dobu 90 minut. Jednotlivé alely jsou vyznačeny šipkami.



Obrázek č. 4: Elektroforetogram šestialelového lokus Cd1 u 21 nepříbuzných jedinců pelikána bílého. Teplota annealingu byla 64 °C a elektroforetická separace probíhala po dobu 90 minut. Jednotlivé alely jsou vyznačeny šipkami.



4 Diskuze

V této diplomové práci jsem se snažila charakterizovat a genotypovat 42 polymorfních mikrosatelitů na 21 nepříbuzných jedincích pelikána bílého (*Pelecanus onocrotalus*), které vybrala v bakalářské práci Hudzieczková (2019). Nakonec jsem polymorfismus potvrdila pouze u 36 párů primerů, které tvoří 37 polymorfních produktů a ty jsem vygenotypovala. 35 párů primerů pocházelo primárně od druhů z řádu trubkonosí, jeden od kulíka mořského z řádu dlouhokřídlí (Calex-01). Při charakterizování jsem vyřadila mikrosateliity Dc5, Paequ2, Cd4, Ole13 a Ptero06, protože jejich produkty byly nehodnotitelné a Cd2, který vůbec neposkytl polymorfní produkt.

Z čeledi albatrosovití jsem charakterizovala a genotypovala 7 mikrosatelitů. 7D8 a 11H1 od a. stěhovavého (*Diomedea exulans*), Dc31 od a. šedohlavého (*D. chrysostoma*), D24 od a. stěhovavého a šedohlavého, De35 od a. černobrvého (*Thalassarche melanophrys*), BFAL4 od a. černonohého (*Phoebastria nigripes*) a LAAL19 od a. laysanského (*P. immutabilis*).

Dubois *et al.* (2005) nalezli celkem 10 polymorfních mikrosatelitních lokusů u albatrosa stěhovavého, mezi které patří i lokusy 7D8 a 11H1. Při teplotě annealingu 58 °C nalezli u těchto dvou mikrosatelitů po 2 alelách. Já jsem při amplifikaci u pelikána bílého nalezla stejně jako autoři při teplotě annealingu 58 °C 2 alely.

Albatrosem stěhovavým a šedohlavým se zabývala Burg (1999), která izolovala 26 mikrosatelitů od těchto druhů. Použila dvě různé teploty annealingu (T_A). T_{A1} zvolila pro prvních 7 cyklů a T_{A2} pro dalších 25 cyklů. Lokus D24 mi poskytl při teplotě annealingu 65 °C 3 alely. Autorka při T_{A1} 48 °C a T_{A2} 52 °C získala monomorfní produkt. U lokusu Dc31 získala při stejných podmínkách opět monomorfní produkt. V mé diplomové práci jsem u tohoto lokusu nalezla celkem 4 alely při T_A 61 °C.

Burg *et Croxall* (2001) popsali mikrosateliity u albatrosa černobrvého a šedohlavého. Pomocí cross-species PCR amplifikace autoři u lokusu De35 objevili při T_{A1} 48 °C a T_{A2} 52 °C 12 alel. Já jsem při teplotě annealingu 57 °C nalezla 2 alely.

Hernandez *et al.* (2014) charakterizovali pro albatrosy bělohrbeté, černonohé a laysanské celkem 15 mikrosatelitních lokusů. Já jsem polymorfismus potvrdila u dvou mikrosatelitů. Autoři u lokusu BFAL4 amplifikovali DNA 36 jedinců albatrosa černonohého a 12 jedinců a. laysanského, použili teplotu *annealingu* 60 °C a detekovali u obou 8 alel. Já jsem při T_A 63 °C nalezla 2 alely, zatímco u lokusu LAAL19 s teplotou *annealingu* 63 °C jsem detekovala celkem 6 alel jako autoři u obou výše zmíněných druhů, kteří měli T_A 60 °C.

Osmnáct polymorfních mikrosatelitů pocházelo od druhů čeledi buřňákovití. Celkem 6 od buřňáka útlozobého (*Pachyptila belcheri*) (Patbel2, Patbel3, Patbel6, Pacbel_08867, Pacbel_10895, Pacbel_15327) 4 pro b. šedého (*Calonectris diomedea*) (Cd1, Cd3, Cd5 a Cd6) po 2 od b. bělobradého (*Procellaria aequinoctialis*) (Paequ3, Paequ8) a b. havajského (*Pterodroma sandwichensis*) (Ptero04, Ptero09) a po jednom mikrosatelitu od b. taiko (*P. magentae*) (Tch6), b. trinidadského (*P. arminjoniana*) (Parm02), b. baleárského (*Puffinus mauretanicus*) (Puff 1.5) a b. světlonožného (*P. carneipes*) (Pc B109).

U buřňáka bělobradého Techow *et O’Ryan* (2004) nalezli 6 mikrosatelitů. Lokus Paequ3, který jsem charakterizovala na 21 nepříbuzných jedincích pelikána bílého, poskytoval 4 alely při teplotě *annealingu* 62 °C. Autoři ho amplifikovali při T_A 55 °C na 93 jedincích a nalezli 9 alel. Polymorfismus vykazoval i lokus Paequ8, který amplifikací při T_A 58 °C měl 3 alely. Já jsem ho pomocí *cross-species* PCR amplifikace charakterizovala při teplotě *annealingu* 60 °C a jeho produkt měl 2 alely.

Lawrence (2008) popsala mikrosatelitní lokusy izolované od buřňáka taiko. Mikrosatелit Tch6, který amplifikovala při teplotě *annealingu* 52 °C, měl dvě alely. Já jsem u tohoto lokusu nalezla 3 alely při teplotě *annealingu* 51 °C.

Bried *et al.* (2008) izolovali 11 mikrosatelitních lokusů, které byly odvozeny od buřňáka šedého. Polymorfismus vykazovaly u 21 nepříbuzných jedinců pelikána bílého 4 mikrosateliity. Autori měli pro všechny lokusy stejné podmínky, a to T_A 58 °C a testovali je na 43 jedincích. Mikrosatелit Cd1 jim poskytl 5 alel, stejně jako mně při teplotě *annealingu* 64 °C. Amplifikací lokusu Cd3 autoři nalezli 3 alely a já při stejném teplotě 4 alely. Po dvou alelách jsem nalezla u lokusu Cd5 při T_A 63 °C a u lokusu Cd6 při T_A 58 °C. Autoři u lokusu Cd5 nalezli 6 alel a u Cd6 5 alel.

Brown *et Jordan* (2009) ve své studii popsali pro buřňáka trinidadského 6 lokusů, které vykazovaly polymorfismus. Na 21 nepříbuzných jedincích pelikána bílého byl polymorfní pouze lokus Parm02. Podmínky optimalizace byly zvoleny tak, že teplota *annealingu* byla 63 °C a produkt poskytoval celkem 4 alely. Autoři u stejného lokusu nalezli též 4 alely s teplotou *annealingu* 55 °C. Počet jedinců ale neuvádějí.

Buřňákem baleárským, od kterého izolovali 10 mikrosatelitních lokusů, se zabývali Gonzalez *et al.* (2009). V mé diplomové práci polymorfismus vykazoval pouze jeden a to Puff1.5, u kterého jsem nalezla 2 alely při T_A 55 °C. Autoři testování prováděli na 54 jedincích při teplotě annealingu 54 °C a nalezli shodný počet alel.

Welch *et Fleischer* (2011) charakterizovali 10 mikrosatelitních lokusů od buřňáka havajského. V mé práci byly za polymorfní prokázány pouze dva. Lokus Ptero04, který autoři pomocí PCR amplifikace testovali na 40 jedincích, poskytl při T_A 53 °C 8 alel. Já jsem u pelikána bílého na 21 nepříbuzných jedincích nalezla 3 alely, které odpovídaly teplotě *annealingu* 60 °C. Autoři označili za polymorfní i mikrosatелit Ptero09, který měl při T_A 48 °C 2 alely. Já jsem nalezla celkem 4 alely při T_A 61 °C.

Hardesty *et al.* (2013) popsali 11 mikrosatelitů, které testovali na 84 jedincích buřňáka světlonoňeho. Při amplifikaci u pelikána bílého vykazoval polymorfismus pouze jeden lokus, Pc B109, který při teplotě *annealingu* 60 °C měl 3 alely. Autoři měli T_A 57 °C a detekovali 5 alel.

Buřňákem útlozobým se zabývali Quilfeldt *et al.* (2012) a izolovali celkem 7 mikrosatelitních lokusů na 68 jedincích. V mé diplomové práci jsem polymorfismus prokázala u 3 z nich. Lokus Patbel2, u kterého jsem při T_A 65 °C nalezla 5 alel, dále Patbel3 při teplotě annealingu 62 °C, u kterého jsem detekovala 7 alel a u lokusu Patbel6 jsem měla T_A 55 °C a 2 alely.

Moodley *et al.* (2015) navrhli 25 mikrosatelitů pro buřňáka útlozobého. Podmínky PCR reakce byly u všech stejné a T_A byla 56 °C. Testování prováděli na celkem 77 jedincích. Ve své diplomové práci jsem polymorfismus detekovala u 3 z nich. U Pacbel_08867 a Pacbel_15327 byly nalezeny 3 alely s teplotou

annealingu u obou 55 °C. Autoři použili T_A 55 °C a detekovali 8 alel u každého. U lokusu Pacbel_10895 byla použitá teplota annealingu 48 °C a detekovala jsem celkem 2 alely. Moodley *et al.* (2015) nalezli u 75 jedinců 19 alel.

Dalších 11 mikrosatelitů bylo izolováno od druhů čeledi buřňáčkovití, kde se nakonec polymorfismus prokázal u 10 z nich. Ole01, Ole09, Ole19, Ole25 a Ole26 pocházely od buřňáčka dlouhokřídlého (*Oceanodroma leucorhoa*), Oc28B, Oc79 a Oc84 od b. madeirského (*O. castro*) a Omn3 a Omn8 od b. Monteirova (*O. monteiroi*).

Studiem buřňáčka dlouhokřídlého se zabývali Bickenell *et al.* (2011) a nalezli 26 mikrosatelitů. Testování prováděli na 23 jedincích a teplotu *annealingu* zvolili 60 °C. Já jsem polymorfismus prokázala u 4 z nich. Na lokusech Ole01 a Ole26 jsem pomocí *cross-species* PCR amplifikace detekovala celkem 3 alely, přičemž T_A u prvního byla 58 °C, zatímco u druhého 48 °C. Autoři u obou zmíněných mikrosatelitních lokusů nalezli po 2 alelách. Dvě alely jsem objevila u Ole09 a Ole19. Podmínky *annealingu* byly pro Ole09 66 °C a pro Ole19 60 °C. U lokusu Ole25 jsem detekovala 7 alel stejně jako Bickenell *et al.* (2011) při teplotě *annealingu* 57 °C s ¾. koncentrací hořečnatých iontů, ale z důvodu toho, že byl problematicky hodnotitelný, tak nebylo možné určit genotyp u jednoho jedince pelikána bílého.

Devět mikrosatelitů charakterizovali Sun *et al.* (2009) u buřňáčka madeirského. Jako teplotu amplifikace zvolili 50 °C. V mé diplomové práci jsem polymorfismus zjistila pouze u 3 z výše zmíněných. Lokus Oc28B měl 3 alely, autoři jej testovali na 27 jedincích buřňáčka madeirského a 22 jedincích buřňáčka Monteirova. Já jsem u tohoto lokusu identifikovala 2 místa polymorfismu s výskytem 4 alel u prvního místa 2 alel u druhého místa polymorfismu a teplotou *annealingu* 54 °C. 2 alely jsem také nalezla u mikrosatelitu Oc79, kdy jsem zvolila teplotu *annealingu* stejnou jako u lokusu Oc28B. Stejný počet alel u tohoto lokusu nalezli i autoři. Polymorfní byl také lokus Oc84, u kterého autoři detekovali 3 alely. Já jsem u pelikána bílého na 21 nepříbuzných jedincích při T_A 58 °C detekovala stejný počet alel jako autoři.

Bried *et al.* (2012) popsali u buřňáčka Monteirova dohromady 18 mikrosatelitních lokusů, které testovali na 125 jedincích. Ve všech případech měli

teplotu *annealingu* 58 °C. Amplifikací lokusu Omn3 jsem při T_A 60 °C detekovala 4 alely, autoři 6. Lokus Omn8 měl u pelikána bílého největší počet alel, celkově 7, které jsem detekovala při teplotě *annealingu* 61 °C. Bried *et al.* (2012) nalezli u lokusu Omn8 celkem 10 alel.

Od řádu dlouhokřídlí z čeledě kulíkovití, konkrétně od kulíka mořského, byl polymorfní pouze jeden mikrosatelit, Calex-01. Testováním tohoto lokusu Brown *et al.* (2009) objevili při T_A 55 °C 4 alely. Já jsem nalezla 3 alely a jako teplotu *annealingu* jsem zvolila 67 °C.

Laboratoř populační genetiky na Katedře buněčné biologie a genetiky Přírodovědecké fakulty Univerzity Palackého v Olomouci se specializuje hlavně na testování mikrosatelitů, které pochází z kladu Aequorlitornithes pomocí metody *cross-species* PCR amplifikace. V diplomových pracech byly charakterizovány mikrosateliity od trubkonosých celkem u 6 druhů ptáků z tohoto kladu - potápka roháč (Janušová, 2017), nesyt indomalajský (Nedvědová, 2015), plameňák karibský (Strejčková, 2018), plameňák růžový (Zlochová, 2019), pelikán kadeřavý (Verešová, 2020) a pelikán africký (Kopečná, 2020).

Janušová (2017) se zabývala analýzou polymorfních mikrosatelitů od trubkonosých u potápkы roháče (*Podiceps cristatus*) pomocí *cross-species* PCR amplifikace. Svůj výzkum prováděla na 13 nepříbuzných jedincích. Celkem vygenotypovala 42 polymorfních mikrosatelitů, které obsahovaly od 2 do 12 alel na lokus. U pelikána bílého vykazovaly polymorfismus pouze 4 z nich.

Nedvědová (2015) testovala polymorfismus u nesyta indomalajského (*Mycteria leucocephala*) na 6 nepříbuzných jedincích. U tohoto druhu nalezla dohromady 46 polymorfních, přesněji řečeno 45 originálních, z důvodu toho, že 2 polymorfní mikrosateliity byly ve skutečnosti jeden lokus, který byl amplifikován dvěma různými páry primerů. Dohromady 14 lokusů vykazovalo polymorfismus i u pelikána bílého.

Polymorfismem u plameňáka karibského (*Phoenicopterus ruber*) se ve své diplomové práci zabývala Strejčková (2018). Pomocí metody *cross-species* PCR amplifikace analyzovala polymorfní mikrosateliity u 30 nepříbuzných jedinců plameňáka karibského. K dispozici měla 50 párů primerů, z nichž polymorfismus

vykazovalo 44, a nalezla od 2 do 11 alel. U 21 nepříbuzných jedinců pelikána bílého bylo polymorfních celkem 12 z nich.

Zlochová (2019) testovala *cross-species* PCR amplifikací polymorfismus u 22 nepříbuzných jedinců plameňáka růžového (*Phoenicopterus roseus*). U 43 polymorfních lokusů nalezla 44 polymorfních oblastí, z nichž 13 vykazovalo polymorfismus i u pelikána bílého.

Kopečná (2020) prováděla analýzu metodou *cross-species* PCR amplifikace na 12 nepříbuzných jedincích pelikána afrického (*Pelecanus rufescens*). Charakterizovala 36 mikrosatelitů a polymorfismus prokázala u 34 z nich, u kterých detekovala od 2 do 5 alel na lokus. Já při svém testování u pelikána bílého měla polymorfních 10 z nich.

Verešová (2020) charakterizovala 11 polymorfních mikrosatelitních lokusů na 41 jedincích pelikána kadeřavého (*Pelecanus crispus*). Jenom 5 lokusů (BFAL4, Cd1, Ole25, Paequ2 a Calex-01) vykazovalo polymorfismus i u pelikána bílého.

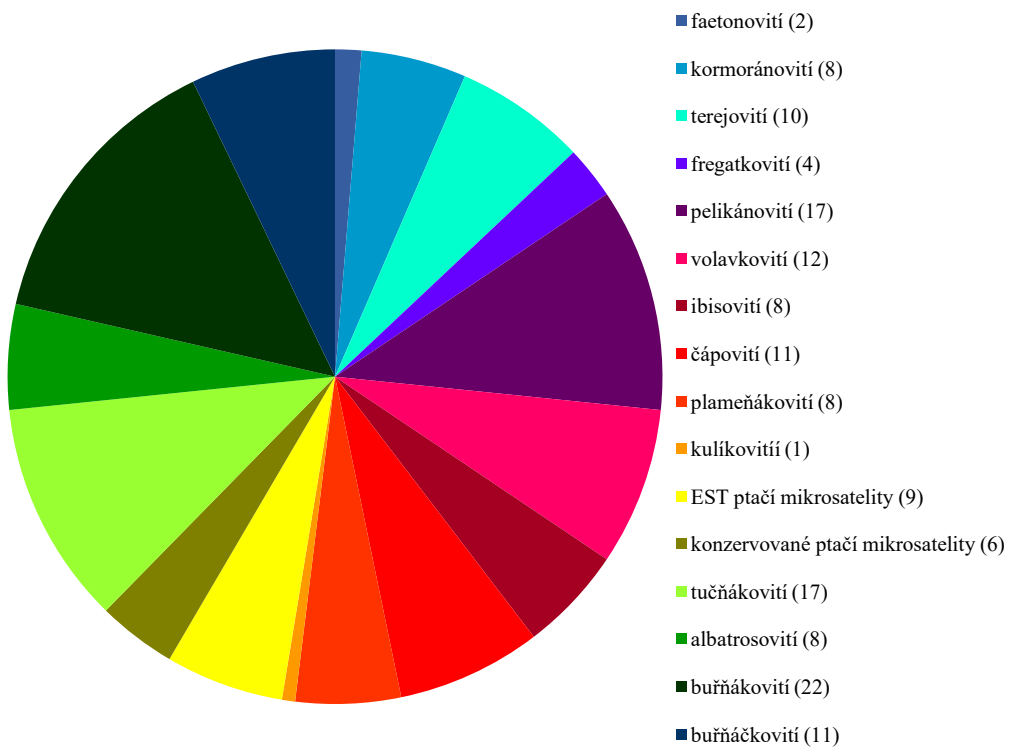
V Tabulce č. 4 jsou uvedeny mikrosateliity, které byly polymorfní u pelikána bílého a u zároveň u ptáků, kteří jsou uvedeni výše. Ze shora dolů jsou mikrosateliity seřazeny od největšího společného překryvu polymorfismu až po nejméně zastoupené. V Tabulce neuvádím mikrosateliity (7D8, 11H1, D24, De35, Cd6, Puff1.5, Ptero04, Patbel6, Pacbel_08867, Pacbel_10895, Ole01, Ole19 a Oc84) protože byly polymorfní pouze u pelikána bílého, ale u žádného z dále uváděných druhů. Jednotlivé druhy ptáků jsou uspořádány zleva doprava tak, že nejdříve je mnou testovaný pelikán bílý a následuje druh, který s ním sdílel nejvíce společných polymorfních mikrosatelitů až po druh, který s ním sdílel nejméně polymorfních mikrosatelitů.

Tabulka č. 4: Porovnání mikrosatelitních lokusů, které byly testované v této práci a vykazovaly polymorfismus u pelikána bílého s dalšími 6 druhy vodních ptáků z kladu *Aequorlitornithes*. V tabulce je uveden název lokusu, dále testovaný druh a počet alel. V případě, že byl daný lokus monomorfní, je označen písmenem M. V závorce je uveden počet charakterizovaných jedinců.

| Lokus | Druh | | | | | | |
|---------------------|-------------------|------------------------|----------------------|------------------------|----------------------|-----------------------|--------------------|
| | Pelikán bílý (21) | Nesyt indomalajský (6) | Plameňák růžový (22) | Plameňák karibský (30) | Pelikán africký (12) | Pelikán kadeřavý (41) | Potápka roháč (13) |
| BFAL4 | 2 | 2 | 2 | 2 | 2 | 2 | M |
| Omn8 | 7 | 4 | 5 | 3 | 3 | M | 9 |
| Dc31 | 4 | M | 2 | 3 | M | 2 | M |
| Paequ3 | 4 | 2 | 4 | 2 | 3 | M | M |
| Tch6 | 3 | 3 | 4 | M | M | M | 4 |
| Cd5 | 2 | M | 2 | 2 | 2 | M | M |
| Patbel2 | 5 | 5 | M | M | 2 | M | 5 |
| Ole09 | 2 | 3 | 5 | 2 | M | M | M |
| Calex-01 | 3 | 2 | 2 | M | M | 3 | M |
| LAAL19 | 6 | M | 5 | 3 | M | M | M |
| Paequ8 | 2 | 4 | M | 2 | 2 | M | M |
| Cd1 | 6 | 4 | M | M | M | 2 | M |
| Pc B109 | 3 | M | 2 | 3 | 2 | M | 12 |
| Patbel3 | 7 | M | 2 | M | 3 | M | M |
| Ole25 | 7 | 3 | M | M | M | 3 | M |
| Ole26 | 3 | 3 | M | M | 2 | M | M |
| Oc28B | 4+2 | M | 3 | 2 | M | M | M |
| Cd3 | 4 | M | M | M | 2 | M | M |
| Parm02 | 4 | 4 | M | M | M | M | M |
| Ptero09 | 4 | 2 | M | M | M | M | M |
| Pacbel_15327 | 3 | 2 | M | M | M | M | M |
| Oc79 | 2 | M | M | 2 | M | M | M |
| Omn3 | 4 | M | M | 2 | M | M | M |

Celkově v rámci *Aequorlitornithes* je pro pelikána bílého otestováno a charakterizováno v laboratoři populační genetiky 154 polymorfních mikrosatelitních lokusů na 21 nepříbuzných jedincích. Jejich přehled uvádí v Grafu č. 2. V rámci 154 lokusů jsem charakterizovala a analyzovala celkem 36 párů primerů, které poskytovaly 37 polymorfních produktů.

Graf č. 2: 154 polymorfních *cross-species* mikrosatelitů, které byly u pelikána bílého charakterizovány. Jejich počet je uveden v závorce u názvů čeledí, ze kterých pocházely.



Všechny mikrosateliity, které vykazovaly polymorfismus u pelikána bílého, byly dohromady zpracovány programy Cervus 3.0.7 a Genopop. Pomocí programu Genopop se zjistilo, že jeden mnou charakterizovaný mikrosateliit (Ole26) je ve velmi silné vazbě s mikrosatelitem Sn2A-36, který pochází od tereje modronohého (*Sula nebouxii*) (Tailor *et al.*, 2010). U mikrosatelitu Sn2A-36 je známo, že je vázaný na pohlaví, ale není to typická vazba na chromozom Z. U tohoto lokusu se vazba na chromozom Z projevuje tak, že všechny samice jsou homo nebo heterozygotní a samci jsou vždy homozygotní (Buržáková, 2011). Lokus Ole26 by mohl v budoucnosti sloužit jako genetický marker pohlaví pro pelikány bílé

5 Závěr

V této diplomové práci jsem charakterizovala a analyzovala 42 mikrosatelitních lokusů, které byly označeny za polymorfní v bakalářské práci Hudzieczkové (2019), která je testovala na 6 nepříbuzných jedincích pelikána bílého (*Pelecanus onocrotalus*). Jednalo se o 8 mikrosatelitů odvozených od zástupců z čeledi albatrosovití (Diomeidae), 22 z čeledi buřňákovití (Procellariidae), 11 z čeledi buřňáčkovití (Hydrobatidae) a 1 mikrosatelit, který byl izolovaný od kulíka mořského z čeledi kulíkovití (Charadriidae) z řádu dlouhokřídlí. Charakterizaci mikrosatelitů jsem prováděla pomocí metody *cross-species* PCR amplifikace na 21 nepříbuzných jedincích pelikána bílého.

Snažila jsem se charakterizovat 42 mikrosatelitních lokusů, které měly být polymorfní u pelikána bílého. Z toho jsem 1 vyřadila jako monomorfní a 5 jako nevhodnotitelných. Celkem jsem amplifikovala 36 párů primerů, které poskytovaly 37 polymorfních produktů. Tyto produkty jsem charakterizovala pomocí genetických programů Cervus 3.0.7 a Genopop. Tyto lokusy mohou sloužit pro studium variability a paternity u pelikána bílého.

6 Didaktická část

1) Zařazení tématu do výuky

Téma mé diplomové práce je nad rozsah RVP střední školy či gymnázia. Téma PCR bych zařadila do výuky biologie, konkrétně pak do genetiky. Dále bych se pak také zmínila v biologii živočichů o pelikánu bílém a jeho charakteristických znacích.

2) Plán výuky

PCR se řadí mezi metody do metod genetického inženýrství, proto bych ho zmínila společně s restrikční a sekvenační analýzou. Na úvod bych žáky seznámila s tím, co to genetické inženýrství je, jak dochází k izolaci a namnožení DNA. Tím bych navázala na PCR a vysvětlila princip této metody. V zoologii živočichů bych žáky informovala o rozšíření a zařazení pelikána bílého do systému ptáků a jeho rozšířením tohoto druhu. Na začátku další hodiny bych žákům rozdala pracovní list pro otestování znalostí z minulé hodiny.

7 Přílohy

Příloha č. 1: Pracovní list pro žáky k didaktické části.

Úkol č. 1: Pospojte správné dvojice.

| | |
|---------------|--|
| PCR | úseky DNA složené z tandemově se opakujících repetic |
| termocykler | zmnožení |
| annealing | přístroj, používaný k amplifikaci DNA |
| mikrosatelity | <i>in vitro</i> replikace DNA |
| amplifikace | hybridizace, spojení jednovlákna do dvojvlákna na základě komplementarity |

Úkol č. 2: Doplňte křížovku.

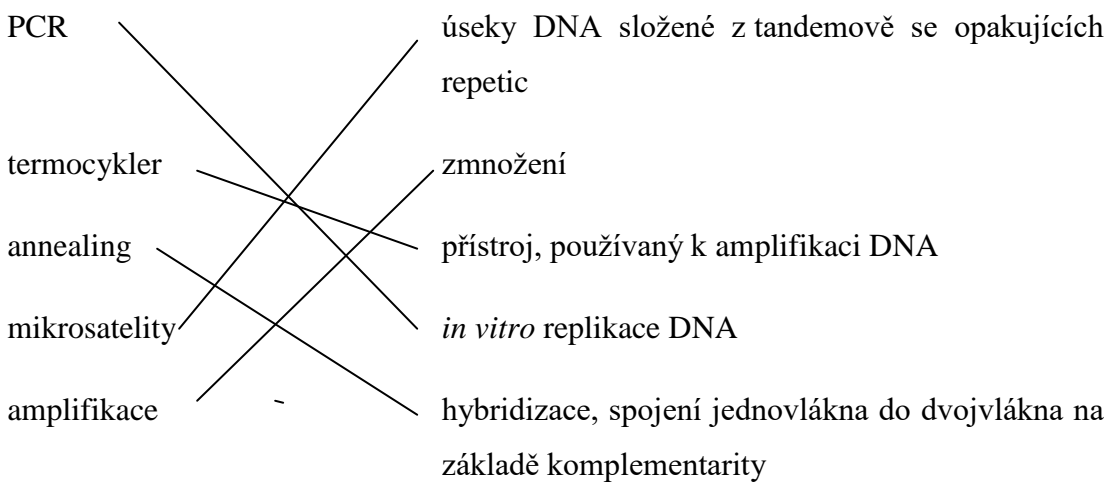
1. Změna genetické informace.
2. Přesné a rovnoměrné rozdělení duplikovaných chromozomů (ve které fázi).
3. Vědec, který popsal strukturu DNA společně s J. Watsonem.
4. Místo rozdělení chromozomu na dvě raménka.
5. Veškerá genetická informace organismu.
6. Gen, který hraje důležitou roli při rozvoji mužského pohlaví.
7. Varianta genu.
8. Překlad RNA do molekuly proteinu.
9. Jeden z pěti základních typů určení pohlaví.
10. Zakladatel genetiky (příjmení).
11. Nejrozšířenější modelový organismus používaný v genetice. Pracoval s ním už T. H. Morgan.
12. Nejčastější porucha barevného vnímání, kdy jedinec není schopen rozlišit červenou a zelenou barvu.

Úkol č. 2: Pokračování

| | | | | | | | | | | | |
|-----|--|--|--|--|--|--|--|--|--|--|--|
| 1. | | | | | | | | | | | |
| 2. | | | | | | | | | | | |
| 3. | | | | | | | | | | | |
| 4. | | | | | | | | | | | |
| 5. | | | | | | | | | | | |
| 6. | | | | | | | | | | | |
| 7. | | | | | | | | | | | |
| 8. | | | | | | | | | | | |
| 9. | | | | | | | | | | | |
| 10. | | | | | | | | | | | |
| 11. | | | | | | | | | | | |
| 12. | | | | | | | | | | | |

Příloha č. 2: Pracovní list pro učitele k didaktické části.

Úkol č. 1: Pospojte správné dvojice.



Úkol č. 2: Doplňte křížovku.

1. Změna genetické informace.
2. Přesné a rovnoměrné rozdělení duplikovaných chromozomů (ve které fázi).
3. Vědec, který popsal strukturu DNA společně s J. Watsonem.
4. Místo rozdělení chromozomu na dvě raménka.
5. Veškerá genetická informace organismu.
6. Gen, který hraje důležitou roli při rozvoji mužského pohlaví.
7. Varianta genu.
8. Překlad RNA do molekuly proteinu.
9. Jeden z pěti základních typů určení pohlaví.
10. Zakladatel genetiky (příjmení).
11. Nejrozšířenější modelový organismus používaný v genetice. Pracoval s ním už T. H. Morgan.
12. Nejčastější porucha barevného vnímání, kdy jedinec není schopen rozlišit červenou a zelenou barvu.

Úkol č. 2: Pokračování

| | | | | | | | | | | | | | |
|-----|---|---|---|---|---|---|---|---|---|---|---|---|---|
| 1. | | | | M | U | T | A | C | E | | | | |
| 2. | | | M | I | T | Ó | Z | A | | | | | |
| 3. | C | R | I | C | K | | | | | | | | |
| 4. | C | E | N | T | R | O | M | É | R | A | | | |
| 5. | G | E | N | O | M | | | | | | | | |
| 6. | | | | S | R | Y | | | | | | | |
| 7. | | | | A | L | E | L | A | | | | | |
| 8. | | | | T | R | A | N | S | L | A | C | E | |
| 9. | P | R | O | T | E | N | O | R | | | | | |
| 10. | M | E | N | D | E | L | | | | | | | |
| 11. | O | C | T | O | M | I | L | K | A | | | | |
| 12. | | | D | A | L | T | O | N | I | S | M | U | S |

Příloha č. 3: Výstup z programu Cervus 3.0.7. Charakteristika 37 polymorfních mikrosatelitních lokusů u 21 nepříbuzných jedinců pelikána bílého.

| Lokus | k | N | H _{Obs} | H _{Exp} | PIC | NE-1P | NE-2P | NE-PP | NE-I | NE-SI | HW | f (Null) |
|----------------|---|----|------------------|------------------|-------|-------|-------|-------|-------|-------|-----|----------|
| 7D8 | 2 | 21 | 0,238 | 0,215 | 0,188 | 0,978 | 0,906 | 0,838 | 0,646 | 0,807 | ND | - |
| 11H1 | 2 | 21 | 0,286 | 0,251 | 0,215 | 0,970 | 0,893 | 0,819 | 0,600 | 0,778 | ND | - |
| D24 | 3 | 21 | 0,571 | 0,528 | 0,438 | 0,867 | 0,751 | 0,619 | 0,313 | 0,570 | NS | - |
| Dc31 | 4 | 21 | 0,286 | 0,443 | 0,373 | 0,906 | 0,792 | 0,670 | 0,382 | 0,629 | NS | 0,2447 |
| De35 | 2 | 21 | 0,143 | 0,136 | 0,124 | 0,991 | 0,938 | 0,888 | 0,761 | 0,874 | ND | - |
| BFAL4 | 2 | 21 | 0,000 | 0,502 | 0,370 | 0,880 | 0,815 | 0,722 | 0,380 | 0,600 | *** | 0,9994 |
| Ole01 | 3 | 21 | 0,190 | 0,180 | 0,166 | 0,985 | 0,913 | 0,841 | 0,689 | 0,834 | ND | - |
| Ole09 | 2 | 21 | 0,000 | 0,177 | 0,157 | 0,985 | 0,921 | 0,861 | 0,700 | 0,839 | ND | 0,8973 |
| Oc84 | 3 | 21 | 0,714 | 0,623 | 0,527 | 0,815 | 0,683 | 0,537 | 0,235 | 0,505 | NS | - |
| Ole25 | 7 | 20 | 0,350 | 0,821 | 0,774 | 0,564 | 0,386 | 0,202 | 0,066 | 0,367 | NS | 0,3907 |
| LAAL19 | 6 | 21 | 0,619 | 0,702 | 0,650 | 0,715 | 0,533 | 0,335 | 0,135 | 0,441 | NS | 0,0580 |
| Paequ3 | 4 | 21 | 0,667 | 0,635 | 0,557 | 0,800 | 0,648 | 0,486 | 0,207 | 0,492 | NS | - |
| Paequ8 | 2 | 21 | 0,667 | 0,511 | 0,374 | 0,876 | 0,813 | 0,719 | 0,376 | 0,594 | NS | - |
| Tch6 | 3 | 21 | 0,238 | 0,408 | 0,336 | 0,921 | 0,822 | 0,717 | 0,425 | 0,657 | NS | 0,2495 |
| Cd1 | 6 | 21 | 0,714 | 0,735 | 0,671 | 0,696 | 0,522 | 0,340 | 0,126 | 0,423 | NS | - |
| Cd3 | 4 | 21 | 0,524 | 0,584 | 0,501 | 0,830 | 0,692 | 0,537 | 0,253 | 0,528 | NS | 0,0294 |
| Ole19 | 2 | 21 | 0,143 | 0,285 | 0,239 | 0,961 | 0,880 | 0,803 | 0,560 | 0,751 | ND | 0,3205 |
| Ole26 | 3 | 21 | 0,143 | 0,554 | 0,453 | 0,854 | 0,742 | 0,611 | 0,299 | 0,554 | *** | 0,6086 |
| Omn3 | 4 | 21 | 0,381 | 0,596 | 0,496 | 0,825 | 0,703 | 0,557 | 0,261 | 0,524 | NS | 0,2267 |
| Cd5 | 2 | 21 | 0,762 | 0,502 | 0,370 | 0,880 | 0,815 | 0,722 | 0,380 | 0,600 | NS | - |
| Cd6 | 2 | 21 | 0,143 | 0,494 | 0,366 | 0,884 | 0,817 | 0,724 | 0,385 | 0,605 | NS | 0,5426 |
| Parm02 | 4 | 21 | 0,476 | 0,580 | 0,508 | 0,831 | 0,684 | 0,521 | 0,247 | 0,529 | NS | 0,0773 |
| Puff1.5 | 2 | 21 | 0,095 | 0,177 | 0,157 | 0,985 | 0,921 | 0,861 | 0,700 | 0,839 | ND | 0,2857 |

Příloha č. 3: Pokračování

| Lokus | k | N | H _{Obs} | H _{Exp} | PIC | NE-1P | NE-2P | NE-PP | NE-I | NE-SI | HW | f (Null) |
|---------------------|---|----|------------------|------------------|-------|-------|-------|-------|-------|-------|----|----------|
| Ptero04 | 3 | 21 | 0,429 | 0,591 | 0,510 | 0,833 | 0,692 | 0,542 | 0,246 | 0,523 | NS | 0,1662 |
| Ptero09 | 4 | 21 | 0,476 | 0,577 | 0,521 | 0,829 | 0,665 | 0,489 | 0,233 | 0,527 | NS | 0,1172 |
| Oc28a | 4 | 21 | 0,571 | 0,654 | 0,577 | 0,783 | 0,626 | 0,459 | 0,192 | 0,479 | NS | 0,0629 |
| Oc28b | 2 | 21 | 0,381 | 0,418 | 0,325 | 0,917 | 0,838 | 0,749 | 0,434 | 0,654 | NS | 0,0345 |
| Omn8 | 7 | 21 | 0,810 | 0,756 | 0,712 | 0,642 | 0,456 | 0,253 | 0,095 | 0,405 | NS | - |
| Pc B109 | 3 | 21 | 0,524 | 0,539 | 0,455 | 0,862 | 0,735 | 0,596 | 0,296 | 0,561 | NS | 0,0015 |
| Patbel12 | 5 | 21 | 0,667 | 0,720 | 0,652 | 0,716 | 0,546 | 0,368 | 0,140 | 0,433 | NS | 0,0345 |
| Patbel13 | 7 | 21 | 0,762 | 0,852 | 0,810 | 0,510 | 0,338 | 0,165 | 0,051 | 0,347 | ND | 0,0421 |
| Patbel6 | 2 | 21 | 0,143 | 0,136 | 0,124 | 0,991 | 0,938 | 0,888 | 0,761 | 0,874 | ND | - |
| Pacbel_08867 | 3 | 21 | 0,190 | 0,180 | 0,166 | 0,985 | 0,913 | 0,841 | 0,689 | 0,834 | ND | - |
| Pacbel_10895 | 2 | 21 | 0,048 | 0,048 | 0,045 | 0,999 | 0,977 | 0,956 | 0,910 | 0,954 | ND | - |
| Pacbel_15327 | 3 | 21 | 0,238 | 0,222 | 0,205 | 0,977 | 0,889 | 0,802 | 0,625 | 0,798 | ND | - |
| Oc79 | 2 | 21 | 0,381 | 0,483 | 0,360 | 0,889 | 0,820 | 0,728 | 0,390 | 0,612 | NS | 0,1064 |
| Calex-01 | 3 | 21 | 0,333 | 0,361 | 0,315 | 0,938 | 0,827 | 0,713 | 0,456 | 0,688 | ND | 0,0151 |

Legenda:

| | |
|------------------|---|
| k | počet nalezených alel |
| N | počet testovaných jedinců |
| H _{Obs} | pozorovaná heterozygotnost |
| H _{Exp} | očekávaná heterozygotnost |
| PIC | vypovídací hodnota lokusu |
| NE-1P | pravděpodobnost chybného přiřazení prvního rodiče k mláděti v případě, že není znám ani jeden z rodičů |
| NE-2P | pravděpodobnost chybného přiřazení druhého rodiče k mláděti v případě, že je znám první z rodičů |
| NE-PP | pravděpodobnost chybného přiřazení rodičovského páru k mláděti |
| NE-I | pravděpodobnost výskytu stejné alelové konstituce všech polymorfních lokusů u dvou náhodně vybraných nepříbuzných jedinců |
| NE-SI | pravděpodobnost výskytu stejné alelové konstituce všech polymorfních lokusů u dvou příbuzných mláďat |

| | |
|----------|--|
| HW | soulad/odchylka od Hardy-Weinbergovy rovnováhy |
| NS | lokus je v souladu s Hardy-Weinbergovou rovnováhou |
| ND | lokus nelze vyhodnotit, zda je nebo není v souladu s Hardy-Weinbergovou rovnováhou |
| *** | signifikantní odchylka od Hardy-Weinbergovy rovnováhy na hladině významnosti 0,1 % |
| F (null) | frekvence výskytu nulových alel |

| | |
|---|------------------------|
| Number of individuals: | 21 |
| Number of loci: | 37 |
| Mean number of alleles per locus: | 3,351 |
| Mean proportion of loci typed: | 0,9987 |
| Mean expected heterozygosity: | 0,4641 |
| Mean polymorphic information content (PIC): | 0,3997 |
| Combined non-exclusion probability (first parent): | 0,000265121 |
| Combined non-exclusion probability (second parent): | 0,000000984 |
| Combined non-exclusion probability (parent pair): | $3,479 \cdot 10^{-9}$ |
| Combined non-exclusion probability (identity): | $7,879 \cdot 10^{-19}$ |
| Combined non-exclusion probability (sib identity): | $6,994 \cdot 10^{-9}$ |

8 Literatura

- Alderton, D. (1995): Ptáci. Nakladatelský dům OP, Praha.
- Bartoňková, I. (2013): Analýza a charakteristika polymorfních *cross-species* mikrosatelitů u pelikána bílého (*Pelecanus onocrotalus*) a pelikána skvrnozobého (*P. philippensis*). Diplomová práce. Depon in: Knihovna biologických oborů PřF UPOL Olomouc.
- Bicknell, A. W. J., Dawson, D. A., Horsburgh, G. J., Knight, M. E., Bilton, D. T., Votier, S. C. (2011): Characterisation and predicted genome locations of Leach's stormpetrel (*Oceanodroma leucorhoa*) microsatellite loci (Procellariidae, Aves). *Conservation Genetics Resources*, 3, 711–716.
- Bouchner, M. (1989): Kapesní atlas ptáků. Státní pedagogické nakladatelství, Praha.
- Bried, J., Andris, M., Dubois, M.-P., Jarne, P. (2012): Eighteen polymorphic microsatellite markers in Monteiro's storm-petrel, *Oceanodroma monteiroi*, and cross-species amplification in three other Procellariiformes. *Molecular Ecology Resources*. Manuskript, dostupné online na <https://www.yumpu.com/en/document/48view/39976169/eighteen-polymorphic-microsatellite-markers-in-monteiro-s-storm>, navštívěno dne 25. 2. 2021.
- Bried, J., Dubois, M.-P., Jouventin, P., Santos, R. S. (2008): Eleven polymorphic microsatellite markers in Cory's shearwater, *Calonectris diomedea*, and crossspecies amplification on threatened Procellariiformes. *Molecular Ecology Resources*, 8, 602–604.
- Brown, L. H., Urban, E. K., Newman, K. (1982): The birds of Africa, Volume I, Academic Press Limited, London.
- Brown, R. M., Jordan, W. C. (2009): Characterization of polymorphic microsatellite loci from Round Island Petrels (*Pterodroma arminjoniana*) and their utility in other seabird species. *Journal of Ornithology*, 150, 925–929.
- Burg, T. M. (1999): Isolation and characterization of microsatellites in albatrosses. *Molecular Ecology*, 8, 338–341.

Burg, T. M., Croxall, J. P. (2001): Global relationships amongst black-browed and greyheaded albatrosses: analysis of population structure using mitochondrial DNA and microsatellites. *Molecular Ecology*, 10, 2647–2660.

Buržáková, K. (2011): Analýza vybraných polymorfních *cross-species* mikrosatelitů pro determinaci paternity u pelikána bílého (*Pelecanus onocrotalus*) a pelikána skvrnozobého (*P. philippensis*). Bakalářská práce. Depon in: Knihovna biologických oborů PřF UPOL Olomouc.

Dawson, D. A., Ball, A. D., Spurgin, L. G., Martín-Gálvez, D., Stewart, I. R., Horsburgh, G. J., Potter, J., Molina-Morales, M., Bicknell, A. W. J., Preston, S. A. J., Ekblom, R., Slate, J., Burke, T. (2013): High-utility conserved avian microsatellite markers enable parentage and population studies across a wide range of species. *BMC Genomics*, 14, 176.

Dawson, D. A., Horsburgh, G. J., Küpper, C., Stewart, I. R. K., Ball, A. D., Durrant, K. L., Hansson, B., Bacon, I., Bird, S., Klein, A., Krupa, A. P., Lee, J. W., Martín-Gálvez, D., Simeoni, M., Smith, G., Spurgin, L. G., Burke, T. (2010): New methods to identify conserved microsatellite loci and develop primer sets of high cross-species utility – as demonstrated for birds. *Molecular Ecology Resources*, 10, 475–494.

De Ponte Machado, M., Feldheim, K., Sellas, A., Bowie, R. (2009): Development and characterization of microsatellite loci from the Great White Pelican (*Pelecanus onocrotalus*) and widespread application to other members of the Pelecanidae. *Conservation Genetics*, 10, 1033–1036.

Del Hoyo, J., Elliott, A., Sargatal, J., Imboden, C. (1992): *Handbook of the Birds of the World*. Volume 1. Ostrich to Ducks. Lynx Editions, Barcelona.

Dubois, M.-P., Jarne, P., Jouventin, P. (2005): Ten polymorphic microsatellite markers in the wandering albatross *Diomedea exulans*. *Molecular Ecology Notes*, 5, 905–907.

Gaisler, J., Zima, J. (2007): *Zoologie obratlovců*. Academia - nakladatelství Akademie věd České republiky, Praha, 431–490.

Goldstein, D., Schlotterer, C. (1999): Microsatellites, evolution and applications. Oxford University Press, Oxford.

Gonzalez, E. G., Genovart, M., Oro, D., Zardoya, R., Juste, J. (2009): Polymorphic microsatellite markers for the critically endangered Balearic shearwaters, *Puffinus mauretanicus*. Molecular Ecology Resources, 9, 1044–1046.

Gosler, A. (1994): Atlas ptáků světa, České vydání 1. Príroda a. s., Bratislava.

Hanzák, J., Hudec, K. (1974): Světem zvířat. Díl 2. Část 1, Ptáci. Druhé přepracované vydání. Albatros, Praha.

Hardesty, B. D., Metcalfe, S. S., Wilcox, C. (2013): Genetic variability and population diversity as revealed by microsatellites for Flesh-footed shearwaters (*Puffinus carneipes*) in the southern hemisphere. Conservation Genetics Resources, 5, 27–29.

Hedges, S. B., Sibley, C. G. (1994): Molecules vs. morphology in avian evolution: the case 59 of the "pelecaniform" birds. Proceedings of the National Academy of Sciences of the United States of America, 91, 9861–9865.

Hernandez, L. D., Lounsberry, Z. T., Collins, P. W., Henry, R. W., Newsome, S. D., Sacks, B. N. (2014): Development and characterization of 15 polymorphic microsatellite markers for North Pacific albatrosses using paired-end Illumina shotgun sequencing. Conservation Genetics Resources, 6, 491–493.

Hickman, C. R., Peters, M. B., Crawford, N. G., Hagen, C., Glenn T. C., Somers, C. M. (2008): Development and characterization of microsatellite loci in the American white pelican (*Pelecanus erythrorhynchos*). Molecular Ecology Resources, 8, 1439–1441.

Hudzieczková, A. (2019): *Cross-species* amplifikace mikrosatelitů z řádu trubkonosí u pelikána bílého (*Pelecanus onocrotalus*). Bakalářská práce. Depon in: Knihovna biologických oborů PřF UPOL, Olomouc.

Janušová, D. (2017): Charakteristika vybraných polymorfních *cross-species* mikrosatelitů z kladu Aequorlitornithes u potápky roháče (*Podiceps cristatus*). Bakalářská práce. Depon in: Knihovna biologických oborů PřF UPOL, Olomouc.

Jarvis, E. D., Mirarab, S., Aberer, A. J., Li, B., Houde, P., Li, C., Ho, S. Y. W., Faircloth, B. C., Nabholz, B., Howard, J. T., Suh, A., Weber, C. C., da Fonseca, R. R., Li, J., Zhang, F., Li, H., Zhou, L., Narula, N., Liu, L., Ganapathy, G., Boussau, B., Bayzid, S., Zavidovych, V., Subramanian, S., Gabaldón, T., Capella-Gutiérrez, S., Huerta-Cepas, J., Rekepalli, B., Munch, K., Schierup, M., Lindow, B., Warren, W. C., Ray, D., Green, R. E., Bruford, M. W., Zhan, X., Dixon, A., Li, S., Li, N., Huang, Y., Derryberry, E. P., Bertelsen, M. F., Sheldon, F. H., Brumfield, R. T., Mello, C. V., Lovell, P. V., Wirthlin, M., Schneider, M. P. C., Prosdocimi, F., Samaniego, J. A., Velazquez, A. M. V., Alfaro- Núñez, A., Campos, P. F., Petersen, B., Sicheritz-Ponten, T., Pas, A., Bailey, T., Scofield, P., Bunce, M., Lambert, D. M., Zhou, Q., Perelman, P., Driskell, A. C., Shapiro, B., Xiong, Z., Zeng, Y., Liu, S., Li, Z., Liu, B., Wu, K., Xiao, J., Yinqi, X., Zheng, Q., Zhang, Y., Yang, H., Wang, J., Smeds, L., Rheindt, F. E., Braun, M., Fjeldsa, J., Orlando, L., Barker, F. K., Jönsson, K. A., Johnson, W., Koepfli, K. P., O'Brien, S., Haussler, D., Ryder, O. A., Rahbek, C., Willerslev, E., Graves, G. R., Glenn, T. C., McCormack, J., Burt, D., Ellegren, H., Alström, P., Edwards, S. V., Stamatakis, A., Mindell, D. P., Cracraft, J., Braun, E. L., Warnow, T., Jun, W., Gilbert, M. T. P., Zhang, G. (2014): Whole-genome analyses resolve early branches in the tree of life of modern birds. *Science*, 346, 1320–1331.

Jeyasingham, W., Taylor, S., Zavalaga, C., Simeone, A., Friesen, V. (2013): Specialization to cold-water upwellings may facilitate gene flow in seabirds: New evidence from the Peruvian pelican *Pelecanus thagus* (Pelecaniformes: Pelecanidae). *Journal of Avian Biology*, 44, 297–304.

Kalinowski, S., Taper, M., Marshall, T. (2007): Revising how the computer program CERVUS accommodates genotyping error increases success in paternity assignment. *Molecular Ecology*, 16, 1099–1106.

Kantartzi, S. K. (2013): Microsatellites: methods and protocols. Methods in molecular biology, v. 1006. Humana Press, Springer, New York.

Kopečná, K. (2020): Analýza a charakteristika vybraných polymorfních mikrosatelitů z řádu trubkonosí a tučňáci a konzervovaných ptačích mikrosatelitů u pelikána afrického (*Pelecanus rufescens*). Diplomová práce. Depon in: Knihovna biologických oborů PřF UPOL Olomouc.

Kovalík, P., Pačenovský, S., Čapek, M., Topercer, J. (2010): Slovenské mená vtákov sveta. SOS/BirdLife Slovensko, Bratislava. Aktualizováno pro rok 2010.

Kremlová, H. (2019): *Cross-species* amplifikace mikrosatelitů z řádu tučňáci a konzervovaných ptačích mikrosatelitů u pelikána bílého (*Pelecanus onocrotalus*). Bakalářská práce. Depon in: Knihovna biologických oborů PřF UPOL, Olomouc.

Kremlová, H. (2021): Analýza a charakteristika vybraných polymorfních mikrosatelitů z řádu tučňáci a konzervovaných ptačích mikrosatelitů u pelikána bílého (*Pelecanus onocrotalus*). Diplomová práce. Depon in: Knihovna biologických oborů PřF UPOL, Olomouc.

Lawrence, H. A. (2008): Conservation genetics of the world's most endangered seabird, the Chatham Island tāiko (*Pterodroma magentae*). Dissertation. Auckland, New Zealand, dostupné online na <https://mro.massey.ac.nz/handle/10179/657>, navštívěno dne 25. 2. 2021

Mayr, G. (2003): The phylogenetic affinities of the Shoebill (*Balaeniceps rex*). Journal of Ornithology, 144, 157–175.

Mikulová, V. (2010): Mikrosatelitové lokusy pro determinaci paternity u vybraných druhů pelikánů (*Pelecanus* spp.). Diplomová práce. Depon in: Knihovna biologických oborů PřF UPOL, Olomouc.

Moodley, Y., Masello, J. F., Cole, T. L., Calderon, L., Munimanda, G. K., Thali, M. R., Alderman, R., Cuthbert, R. J., Marin, M., Massaro, M., Navarro, J., Phillips, R. A., Ryan, P. G., Suazo, C. G., Cherel, Y., Weimerskirch, H., Quillfeldt, P. (2015): Evolutionary factors affecting the cross-species utility of newly developed microsatellite markers in seabirds. Molecular Ecology Resources, 15, 1046–1058.

Moore, S. S., Sargeant, L. L., King, T. J., Mattick, J. S., Georges, M., Hetzel, D. J. (1991): The conservation of dinucleotide microsatellites among mammalian genomes allows the use of hetelogous PCR primer pairs in closely related species. Genomics, 10, 654–660.

Nedvědová, M. (2015): *Cross-species* amplifikace mikrosatelitů z řádu trubkonosí u nesyta indomalajského (*Mycteria leucocephala*). Diplomová práce. Depon in: Knihovna biologických oborů PřF UPOL, Olomouc.

- Nelson, J. B. (2005): Pelicans, Cormorants, and their Relatives. The Pelecaniformes, 1st ed. Oxford University Press, Oxford, 661.
- Oliveira, E. J., Pádua, J. G., Zucchi, M. I., Vencovsky, R., Vieira, L. C. (2006): Origin, evolution and genome distribution of microsatellites. *Genetics and Molecular Biology*, 29, 294–307.
- Prum, R. O., Berv, J. S., Dornburg, A., Field, D. J., Townsend, J. P., Lemmon, E. M., Lemmon, A. R. (2015): A comprehensive phylogeny of birds (Aves) using targeted next-generation DNA sequencing. *Nature*, 526, 569–573.
- Primmer, C. R., Møller, A. P., Ellegren, H. (1996): A wide-range survey of cross-species microsatellite amplification in birds. *Molecular Ecology*, 5, 365–378.
- Primmer, C. R., Painter, J. N., Koskinen, M. T., Palo, J. U., Merilä, J. (2005): Factors affecting avian cross-species microsatellite amplification. *Journal of Avian Biology*, 36, 348–360.
- Quillfeldt, P., Masello, J. F., Segelbacher, G. (2012): Extra-pair paternity in seabirds: a review and case study of Thin-billed Prions *Pachyptila belcheri*. *Journal of Ornithology*, 153, 367–373.
- Ranochová, A. (2008): Analýza mikrosatelitových lokusů pro determinaci paternity u vybraných druhů pelikánů. Diplomová práce. Depon in: Knihovna biologických oborů PřF UPOL, Olomouc.
- Reudink, M., Kyle, C. H. J., Nocera, J. J., Oomen, R. A., Green, M. C., Somers, C. H. M. (2011): Panmixia on a continental scale in a widely distributed colonial waterbird. *Biological Journal of the Linnean Society*, 102, 583–592.
- Rousset, F. (2008): GENEPOP‘007: a complete re-implementation of the GENEPOP software for Windows and Linux. *Molecular Ecology Resources*, 8, 103–106.
- Sharma, P. C., Grover, A., Kahl, G. (2007): Mining microsatellites in eukaryotic genomes. *Trends in Biotechnology*, 25, 490–498.
- Schlosser, J. A., Garner, T. W. J., Dubach, J. M., McElligott, A. G. (2003): Characterization of microsatellite loci in Humboldt penguin (*Spheniscus humboldti*) and crossamplification in other penguin species. *Molecular Ecology Notes*, 3, 62–64.

Schlötterer, C. (2000): Evolutionary dynamics of microsatellite DNA. *Chromosoma*, 109, 365–371.

Sibley, C. G., Ahlquist, J. E. Monroe, B. L. (1988): A Classification of the Living Birds of the World Based on DNA-DNA Hybridization Studies. *The Auk*, 105, 409–423.

Strejčková, B. (2018): Analýza a charakteristika polymorfních *cross-species* mikrosatelitů od trubkonosých u plameňáka karibského (*Phoenicopterus ruber*). Diplomová práce. Depon in: Knihovna biologických oborů PřF UPOL, Olomouc.

Sun, Z., Gómez-Díaz, E., Bailie, A., Friesen, V. (2009): Isolation and characterization of microsatellite loci for storm-petrels. *Molecular Ecology Resources*, 9, 913–915.

Šťastný, K., Bejček, V., Hudec, K. (1998): Svět zvířat IV. Ptáci 1. Albatros, Praha.

Taylor, S. A., Morris-Pocock, J. A., Sun, Z., Friesen, V. L. (2010): Isolation and characterization of ten microsatellite loci in Blue-footed (*Sula nebouxii*) and Peruvian Boobies (*Sula variegata*). *Journal of Ornithology* 151; 525–528.

Techow, N. M. S. M., O’Ryan, C. (2004): Characterization of microsatellite loci in White-chinned Petrel (*Procellaria aequinoctialis*) and cross-amplification in six other procellariiform species. *Molecular Ecology Notes*, 4, 33–35.

Tóth, G., Gáspári, Z., Jurka, J. (2000): Microsatellites in different eukaryotic genomes: Survey and analysis. *Genome Research*, 10, 967–981.

Verešová, D. (2020): Analýza a charakteristika vybraných polymorfních mikrosatelitů z řádu trubkonosí a tučňáci a konzervovaných ptačích mikrosatelitů u pelikána kadeřavého (*Pelecanus crispus*) a u plameňáka růžového (*Phoenicopterus roseus*). Diplomová práce. Depon in: Knihovna biologických oborů PřF UPOL Olomouc.

Vieira, M. L. C., Santini, L., Diniz, L., de Freitas Munhoz, C. (2016). Microsatellite Markers: What They and Why They Are so Useful. *Genetics and Molecular Biology*, 39, 312–328.

Welch, A. J., Fleischer, R. C. (2011): Polymorphic microsatellite markers for the endangered Hawaiian petrel (*Pterodroma sandwichensis*). *Conservation Genetics Resources*, 3, 581–584.

Winkler, D. W., Billermann, S. M., Lovette, I. J. (2015): Bird families of the world: an invitation to the spectacular diversity of birds. Lynx Editions, Barcelona.

Zane, L., Bargelloni, L., Patarnello, T. (2002): Strategies for microsatellite isolation: a review. *Molecular Ecology*, 11, 1–16.

Zlochová, A. (2019): Amplifikace vybraných polymorfních mikrosatelitů z řádu trubkonosí u plameňáka růžového (*Phoenicopterus roseus*). Diplomová práce. Depon in: Knihovna biologických oborů PřF UPOL v Olomouci.